

Program EVALPLOT  
(Version 2021-1)

by

Dermott E. Cullen  
(Present Contact Information)

Dermott E. Cullen  
1466 Hudson Way  
Livermore, CA 94550  
U.S.A.

Tele: 925-443-1911

E.Mail:redcullen1@comcast.net

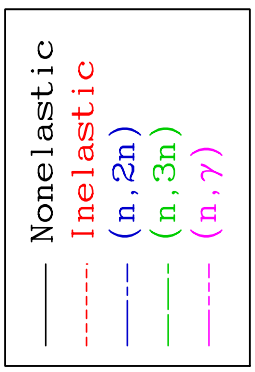
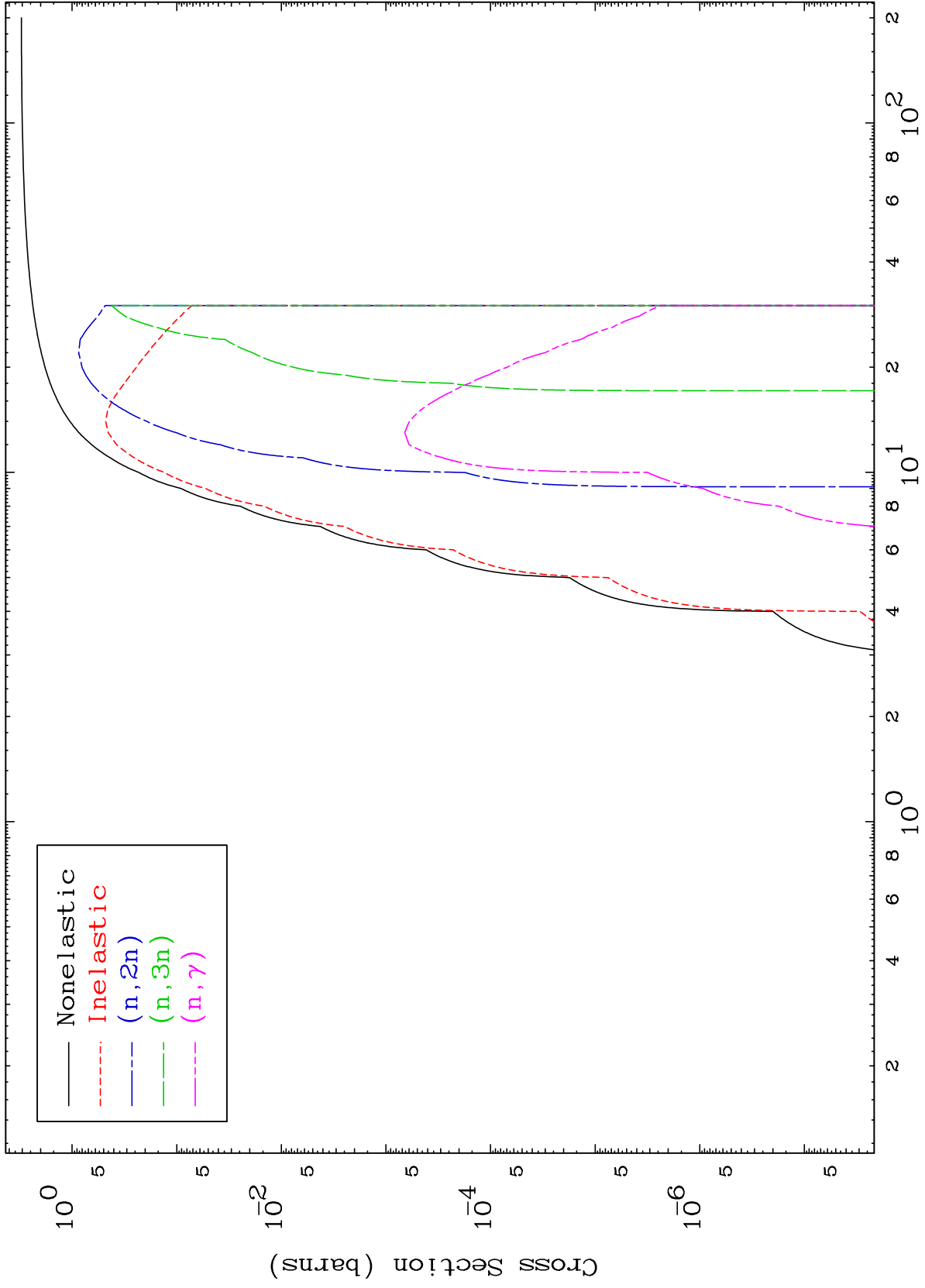
Web:redcullen1.net/HOMEPAGE.NEW

Press Mouse Button to Start

MAT 8089

Deuteron Major  
0 Kelvin Cross Sections

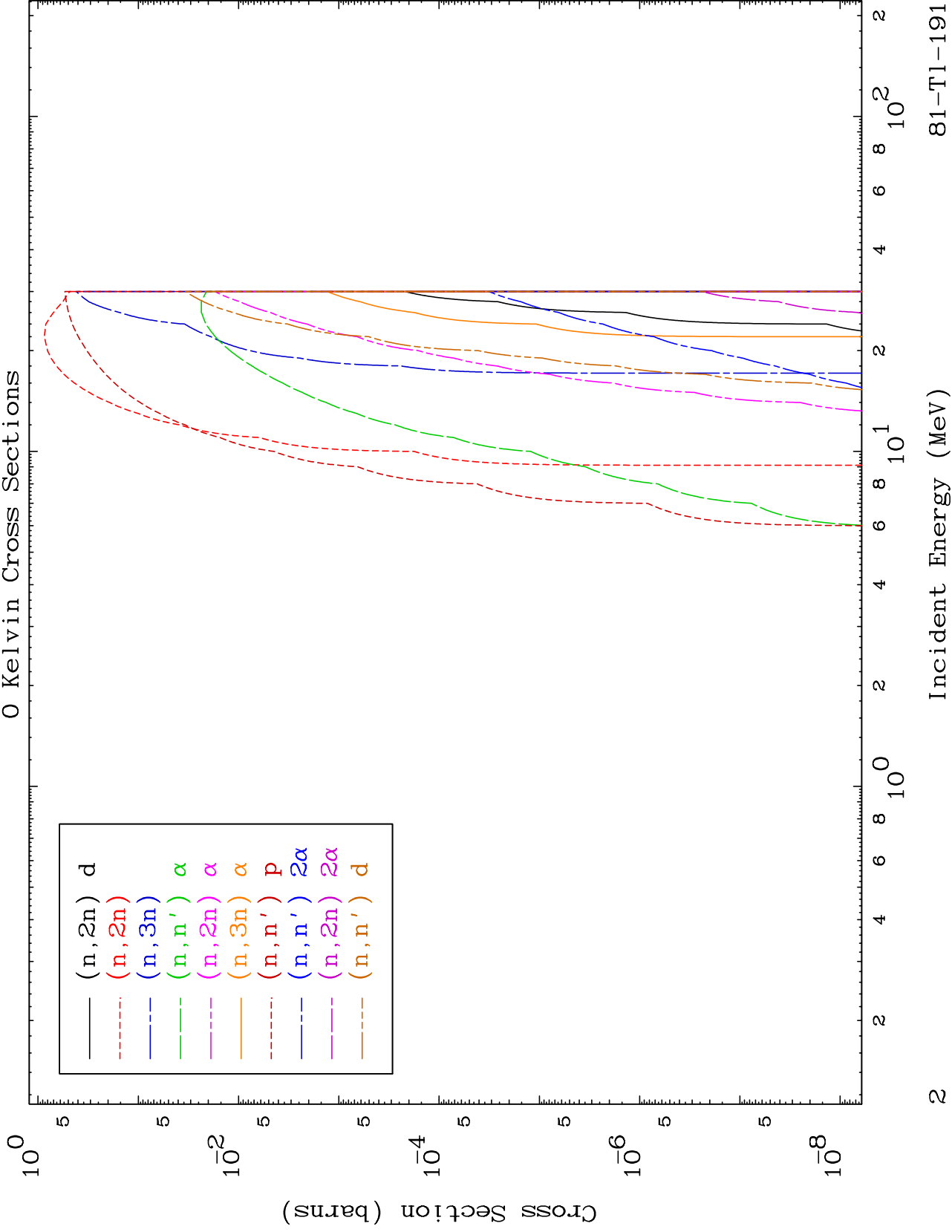
81-Tl-191

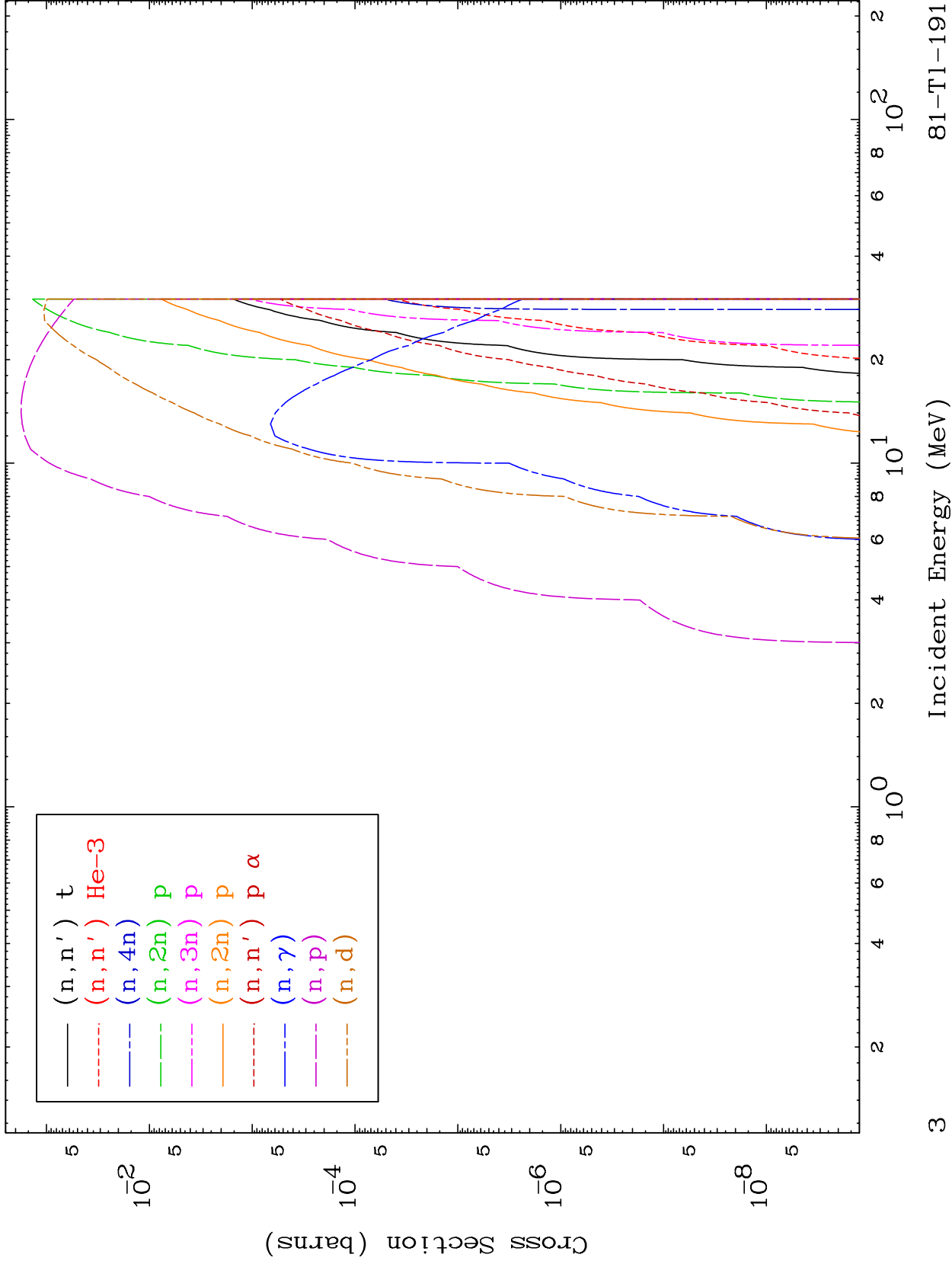


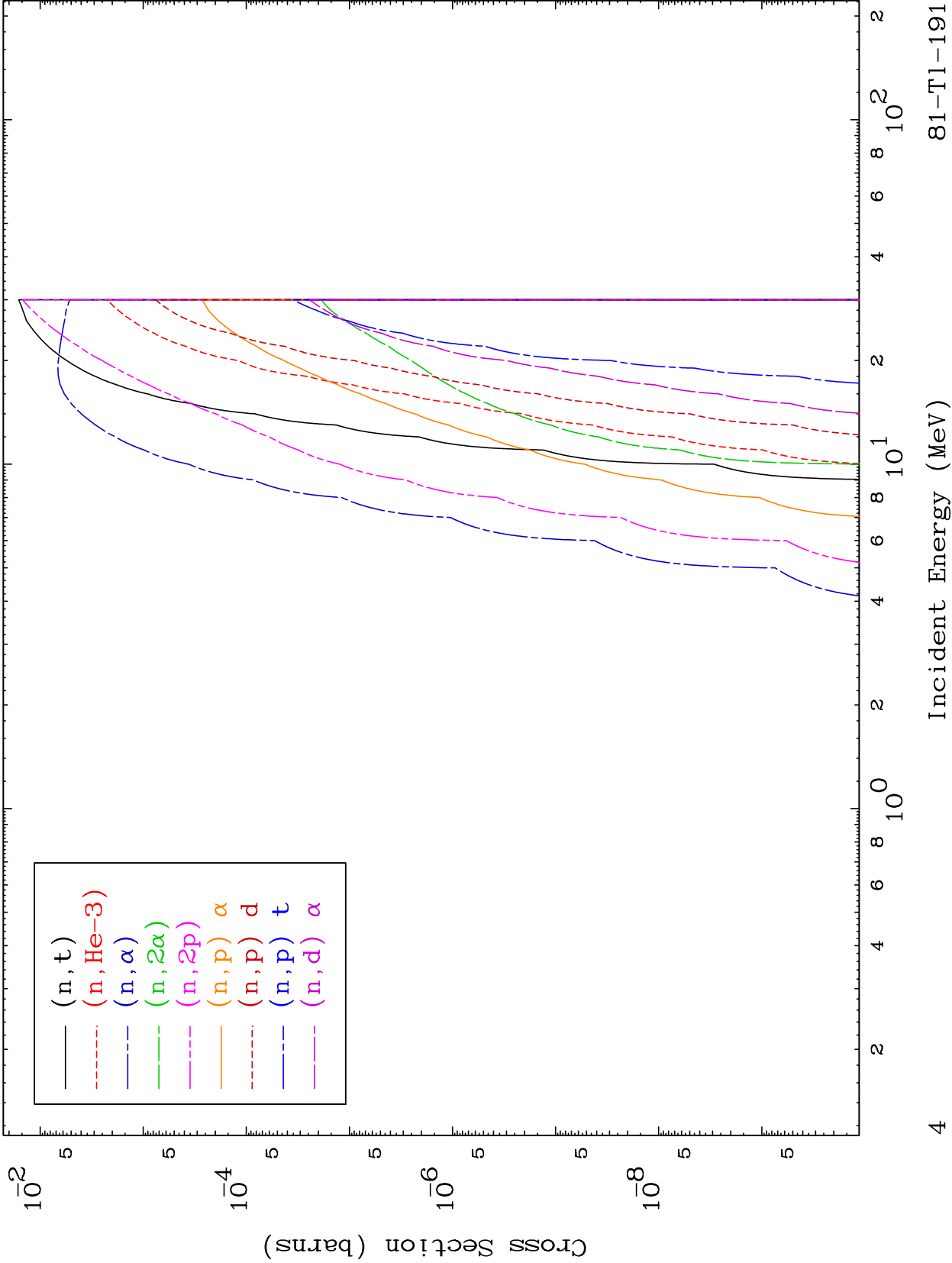
MAT 8089

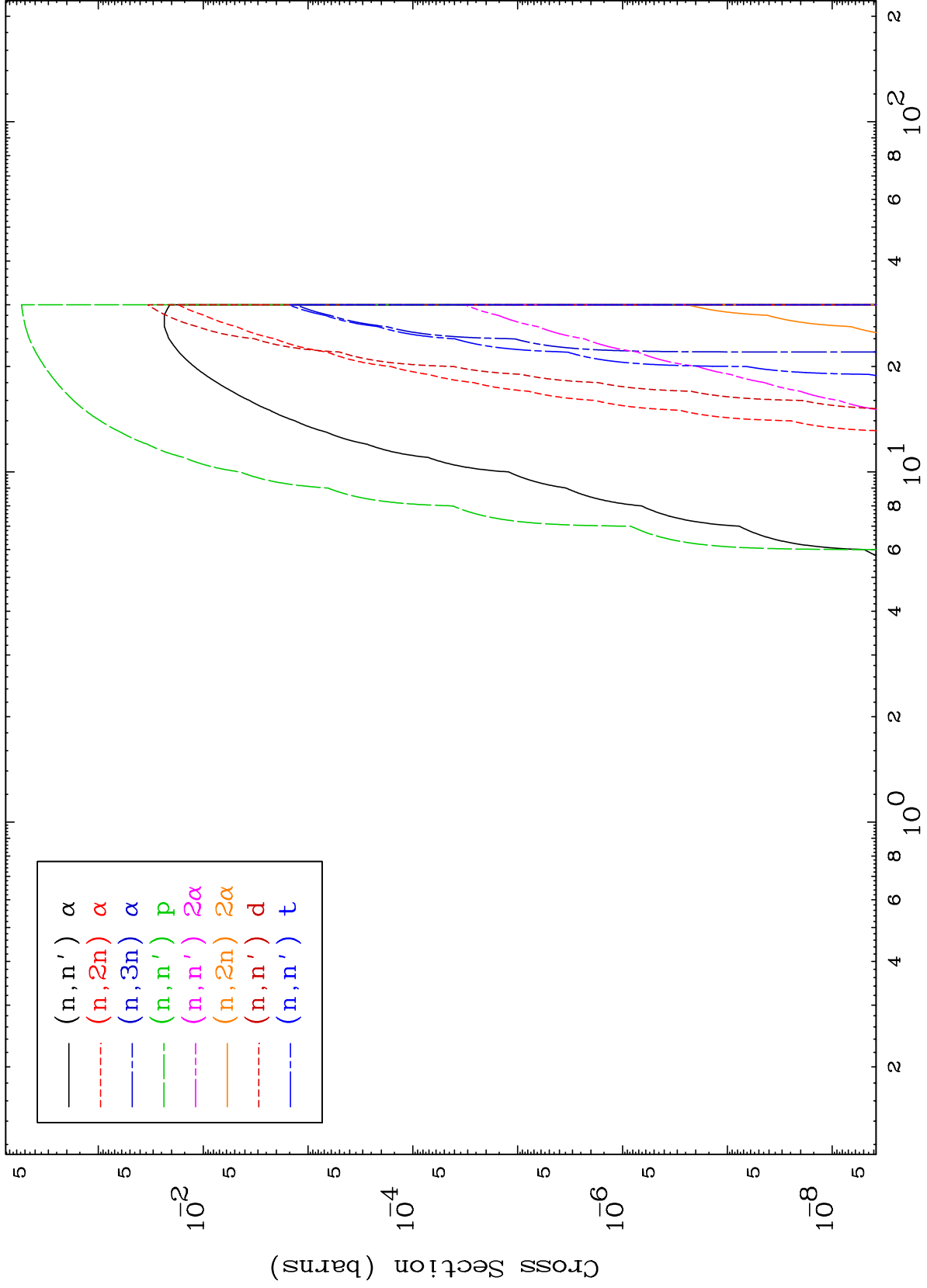
Deuteron Neutron Absorption  
0 Kelvin Cross Sections

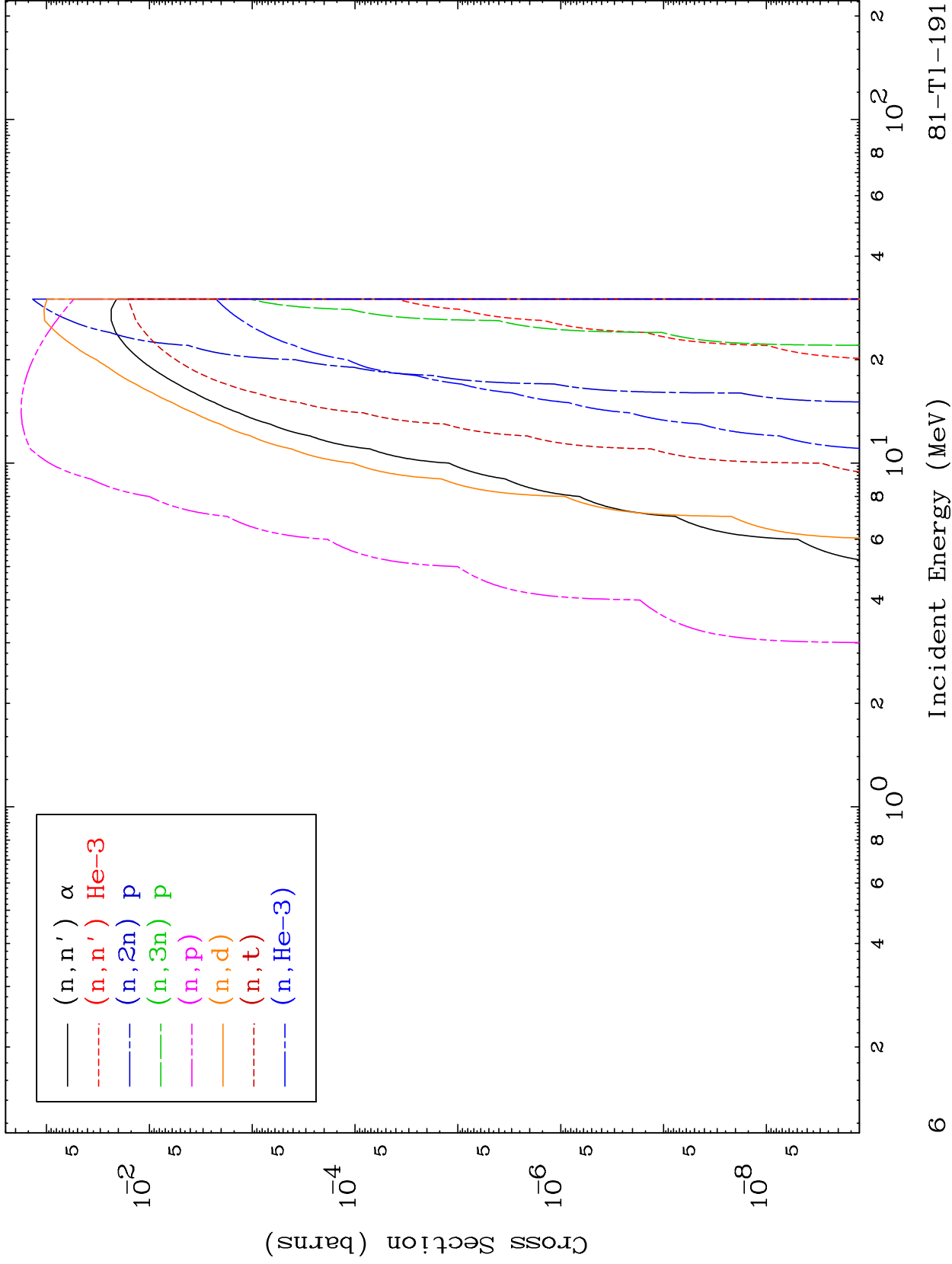
81-Tl-191

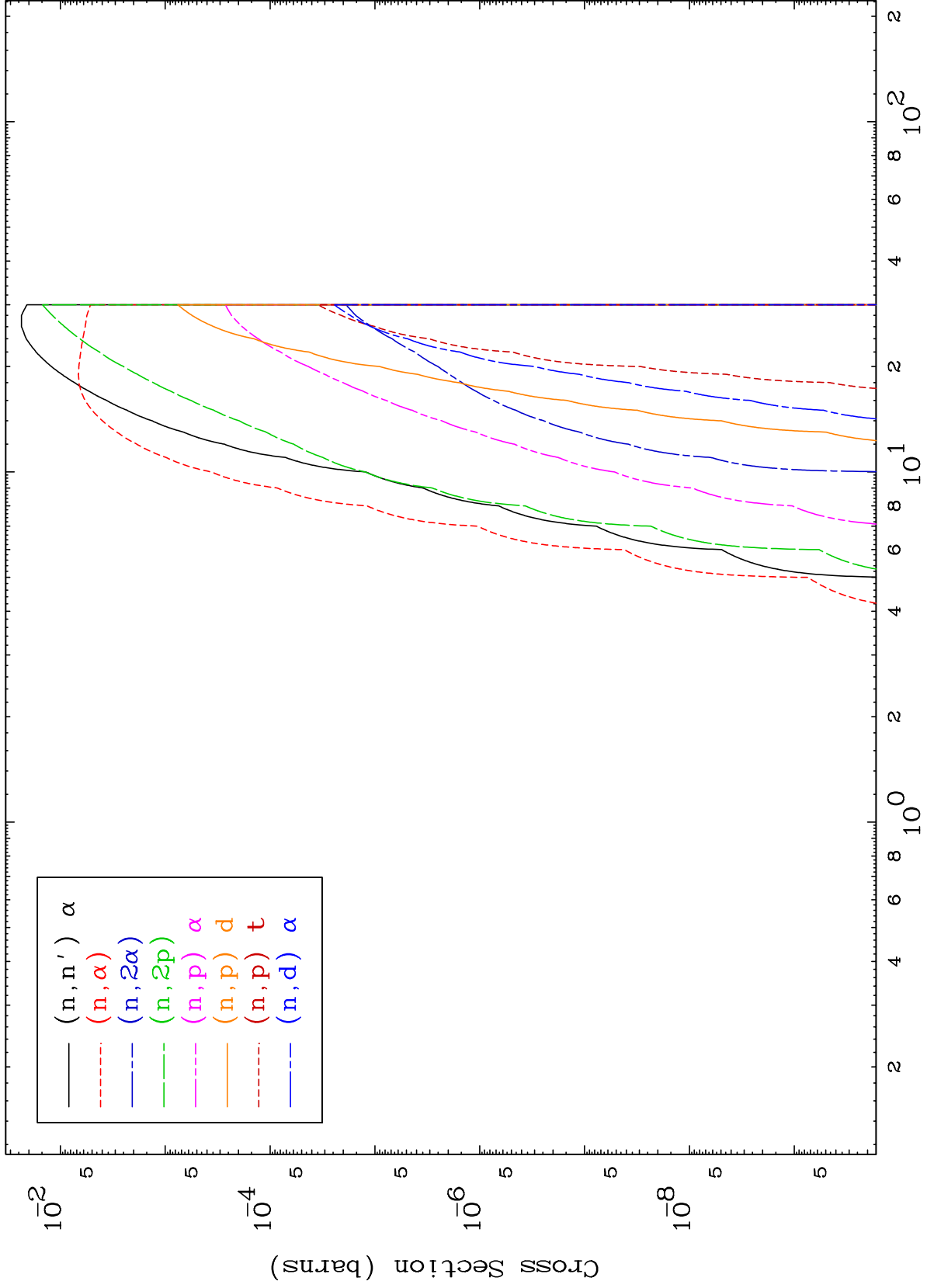










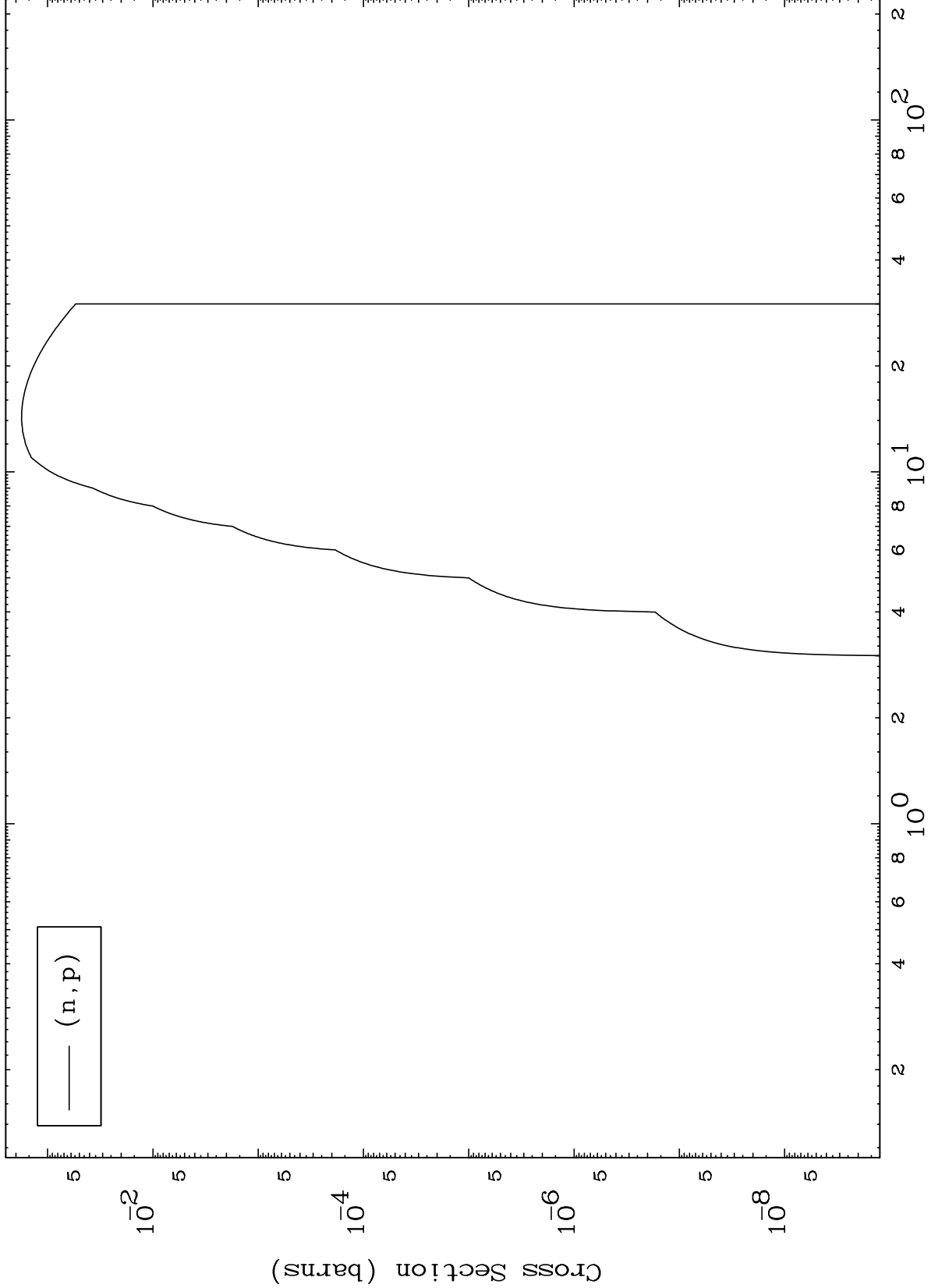


MAT 8089

(d,p) Levels

81-Tl-191

0 Kelvin Cross Sections

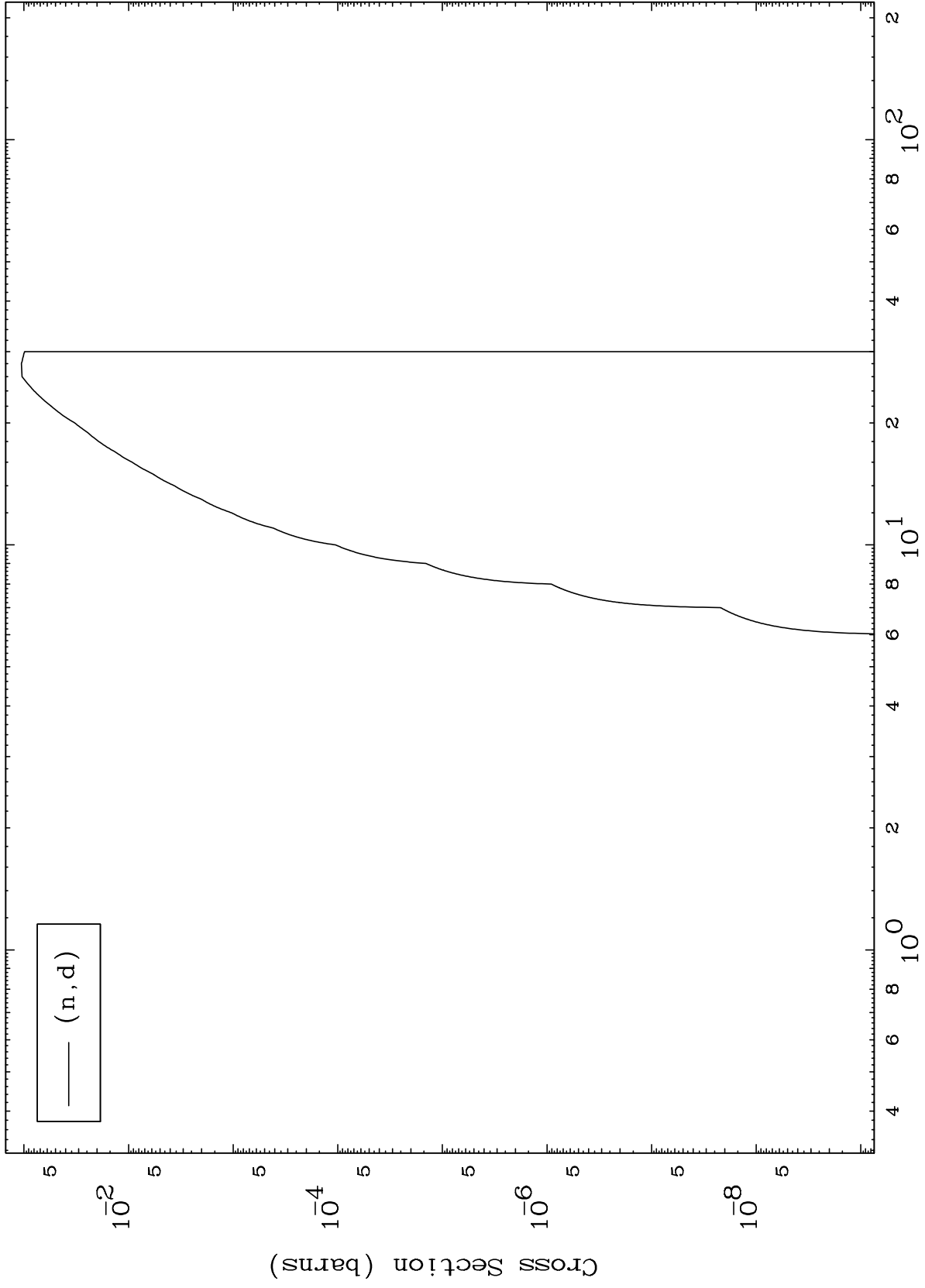


(n,p)

MAT 8089

(d,d) Levels  
0 Kelvin Cross Sections

81-Tl-191



9

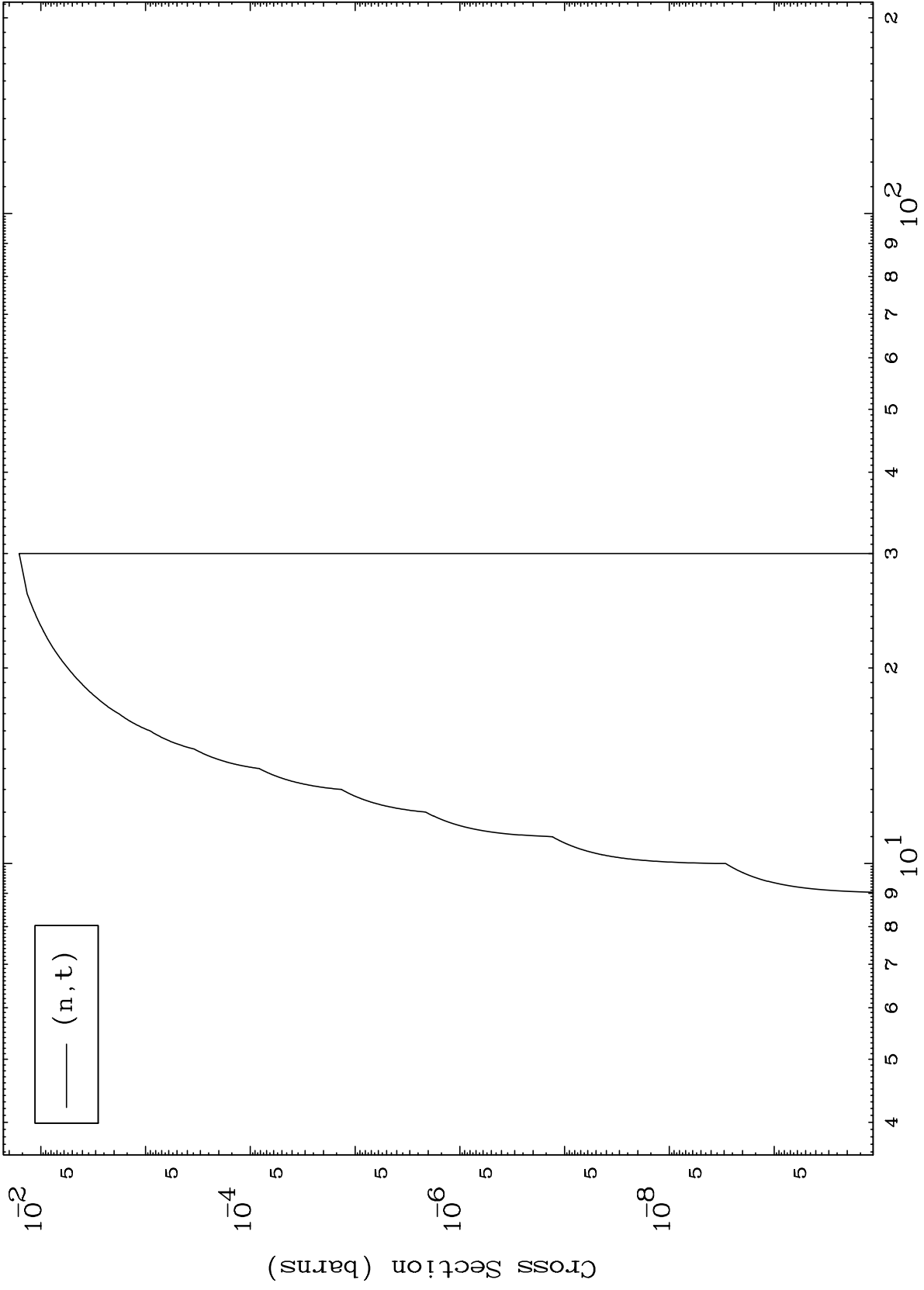
Incident Energy (MeV)

81-Tl-191

MAT 8089

(d,t) Levels  
0 Kelvin Cross Sections

81-Tl-191



10

Incident Energy (MeV)

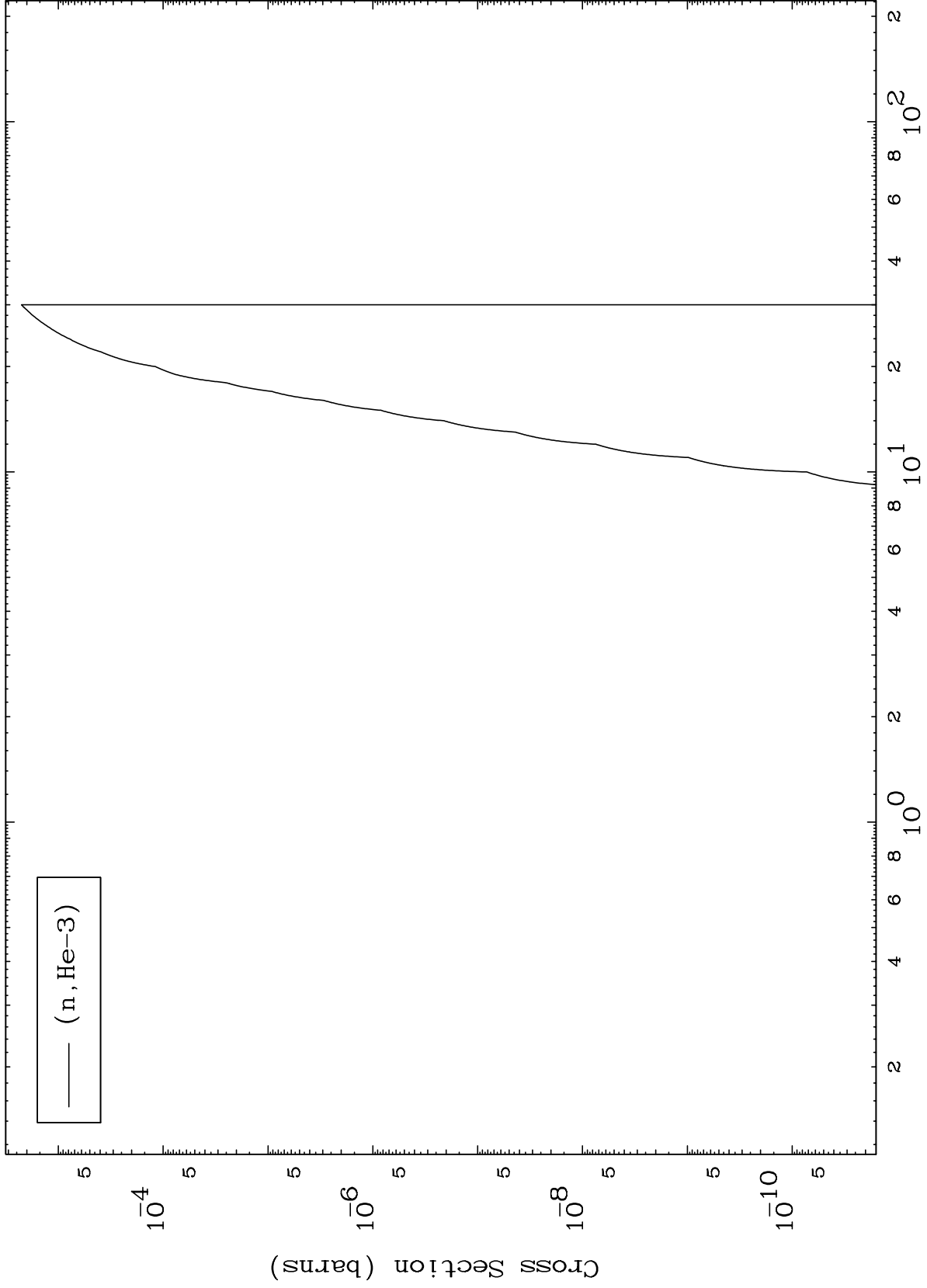
81-Tl-191

MAT 8089

(d,He3) Levels

81-Tl-191

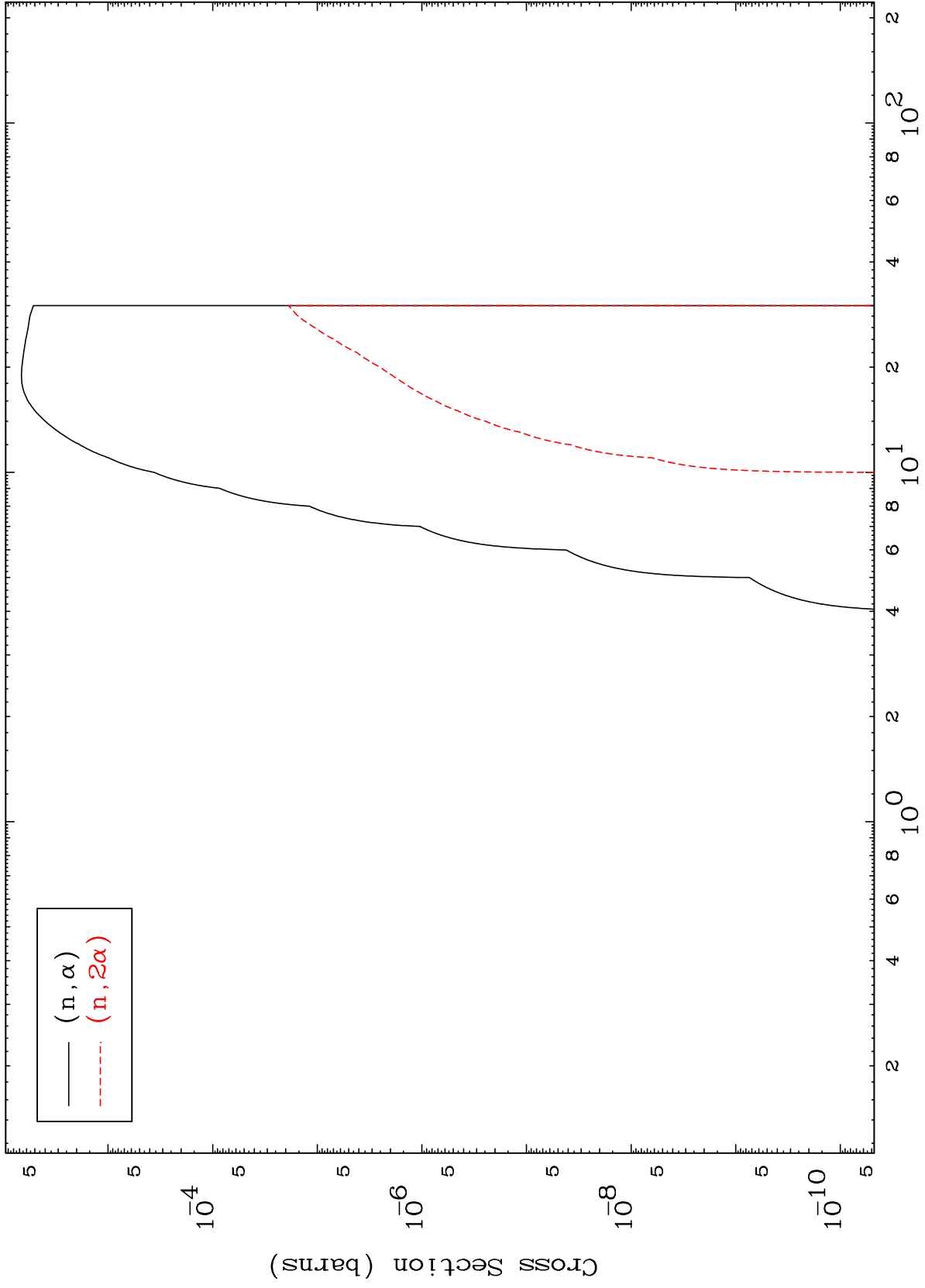
0 Kelvin Cross Sections



MAT 8089

(d,  $\alpha$ ) Levels  
0 Kelvin Cross Sections

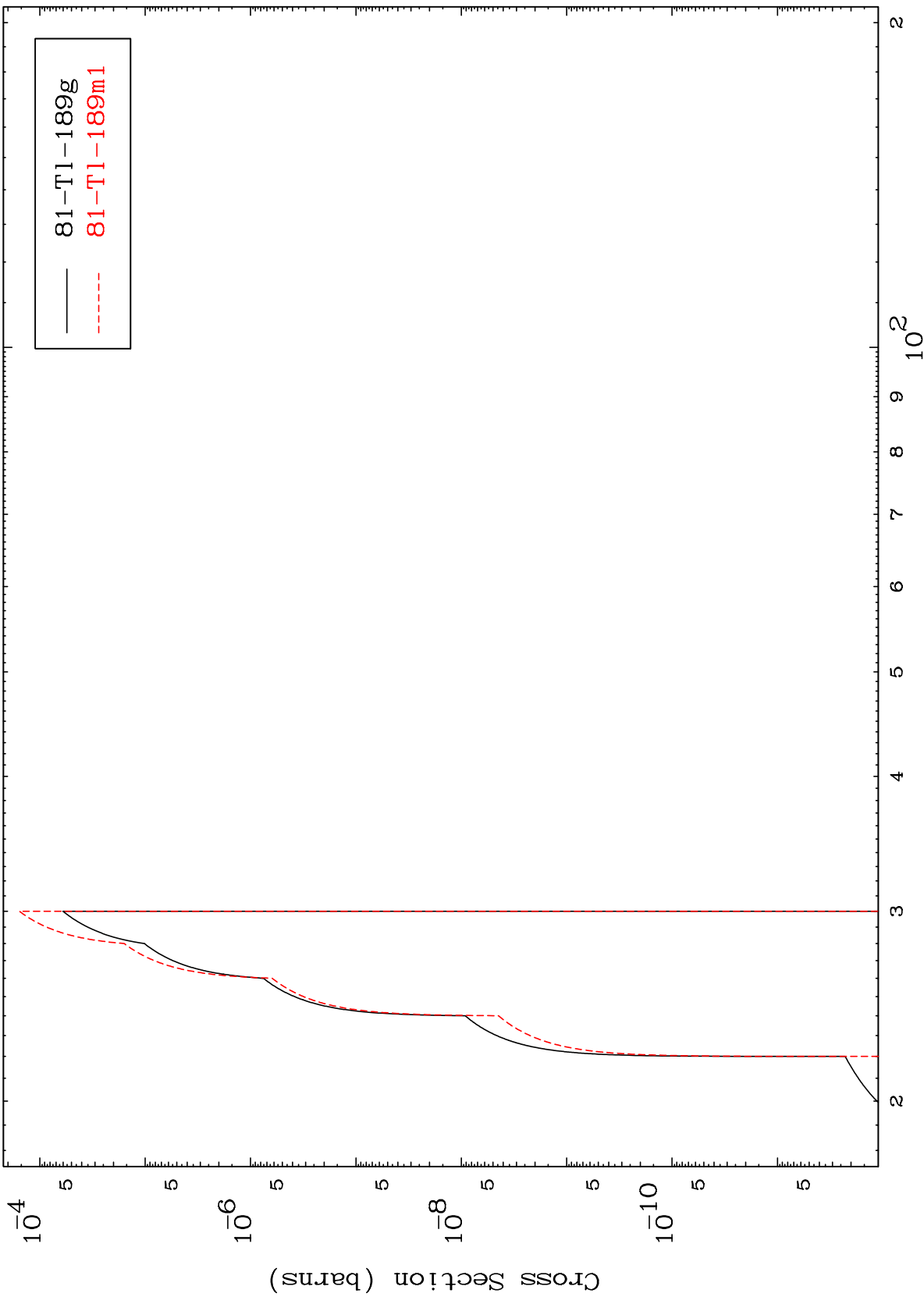
81-Tl-191



12

81-Tl-191

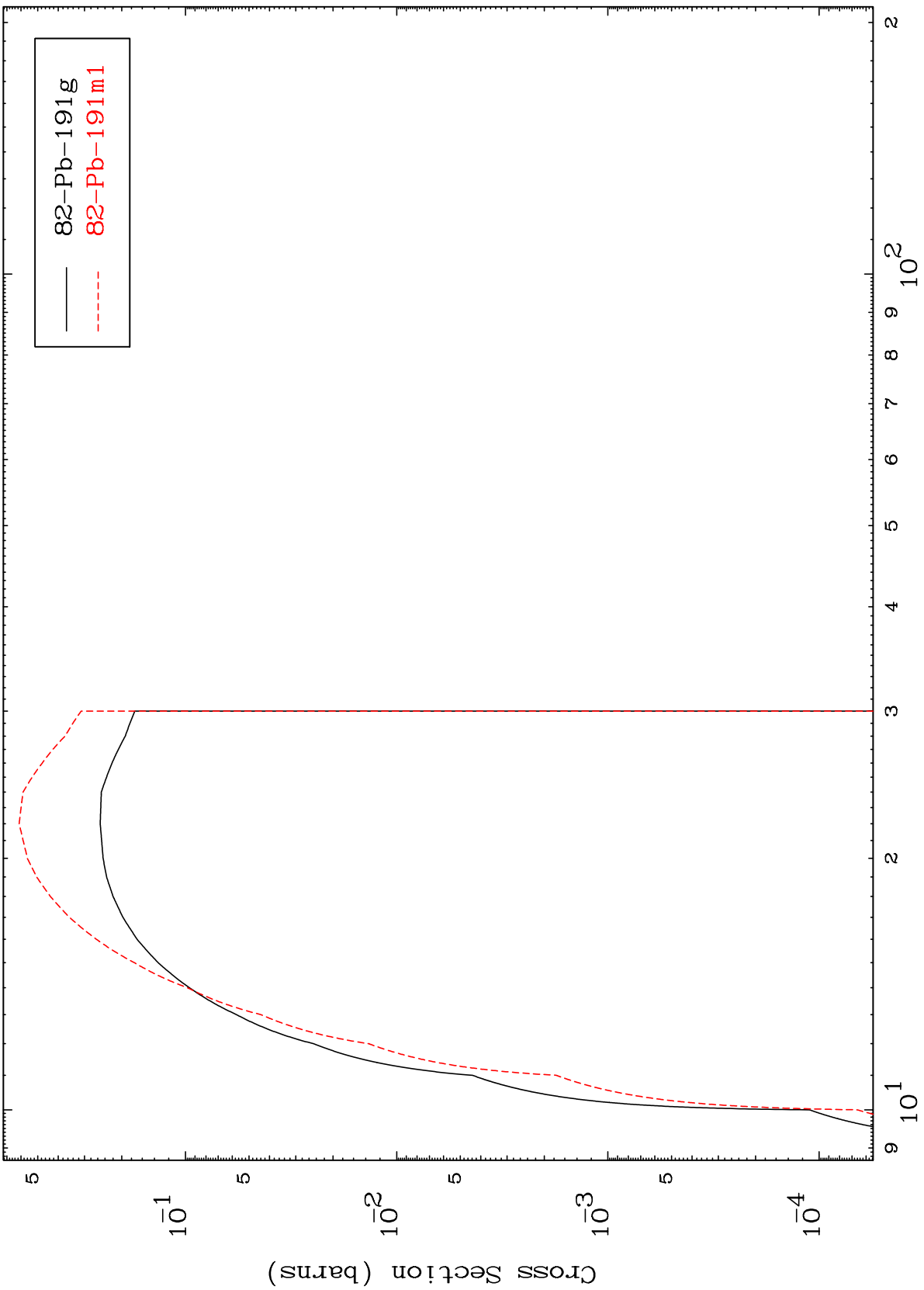
Radionuclide Production Cross Section



MAT 8089

81-Tl-191

(n,2n)  
Radionuclide Production Cross Section



81-Tl-191

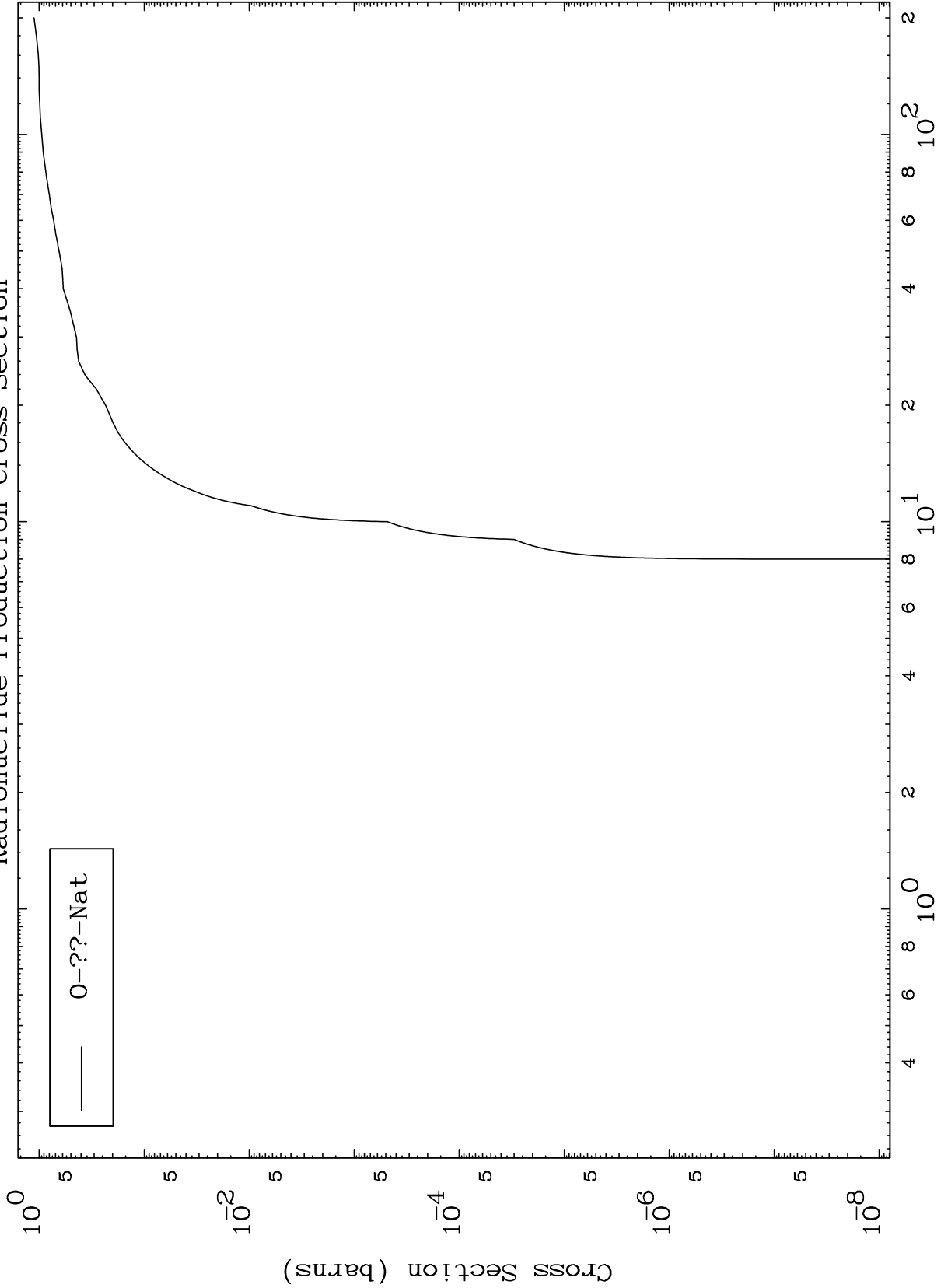
Incident Energy (MeV)

14

MAT 8089

81-Tl-191

Fission  
Radionuclide Production Cross Section

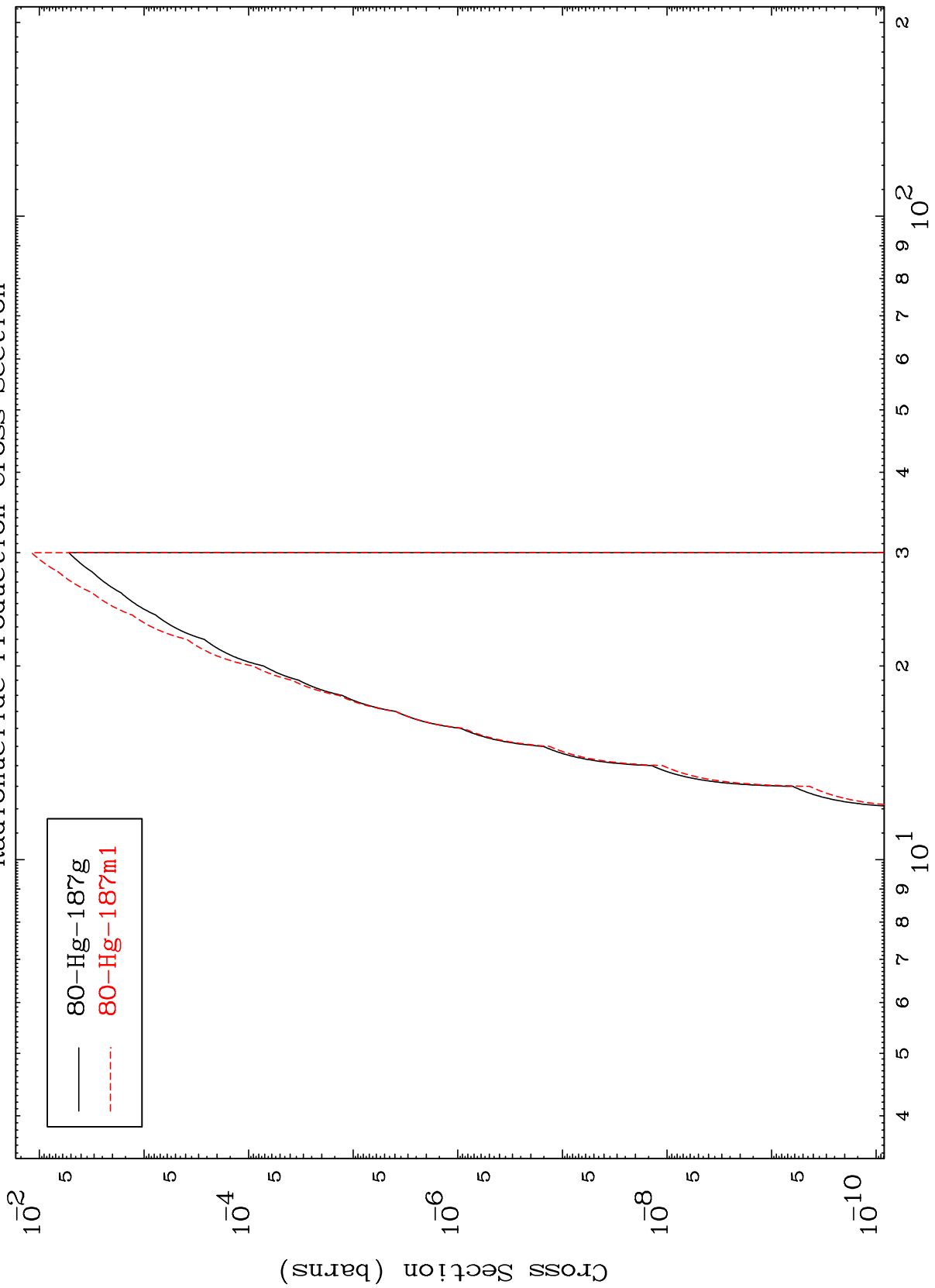


MAT 8089

(n,2n)  $\alpha$

81-Tl-191

Radionuclide Production Cross Section



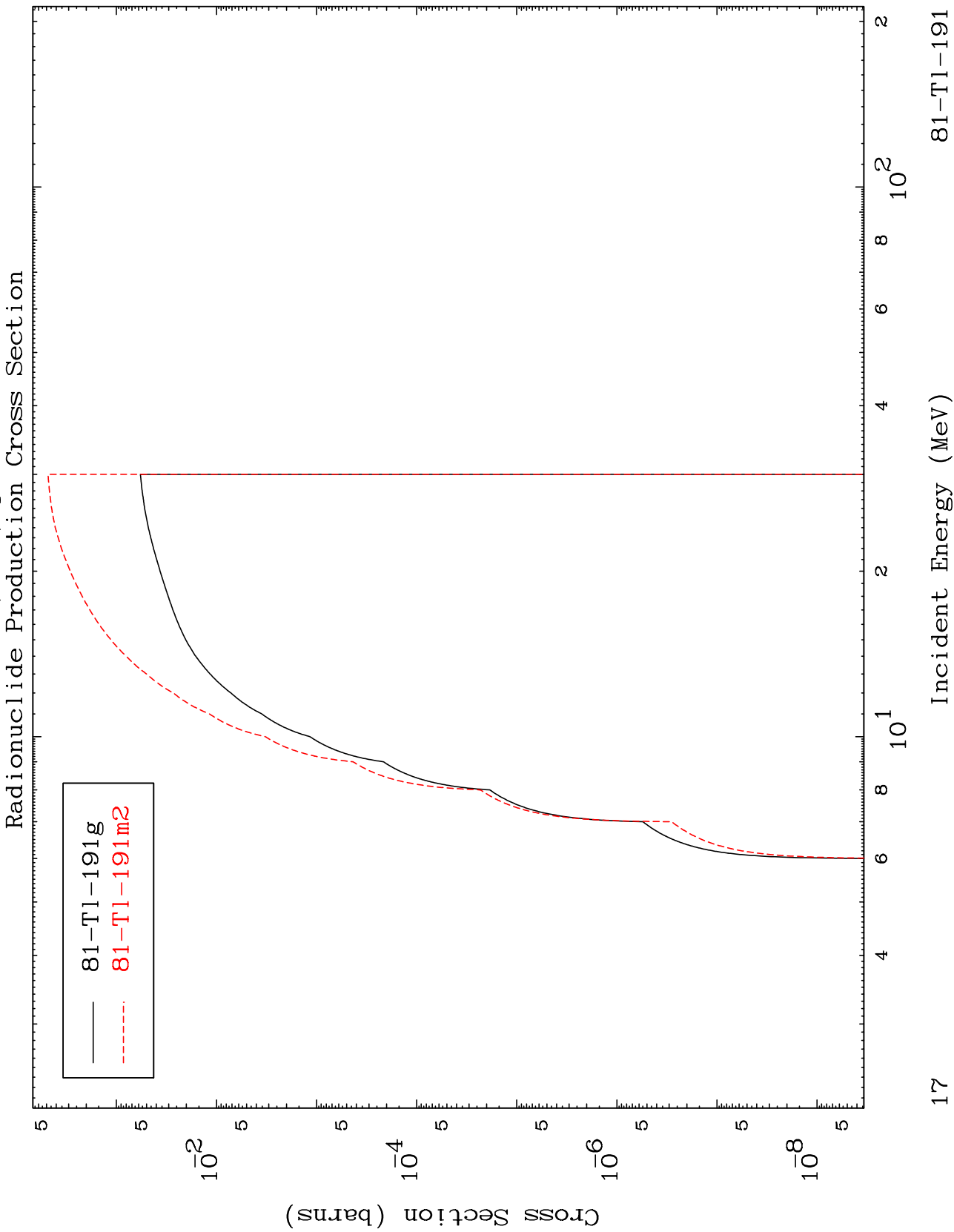
16

Incident Energy (MeV)

81-Tl-191

MAT 8089

81-Tl-191

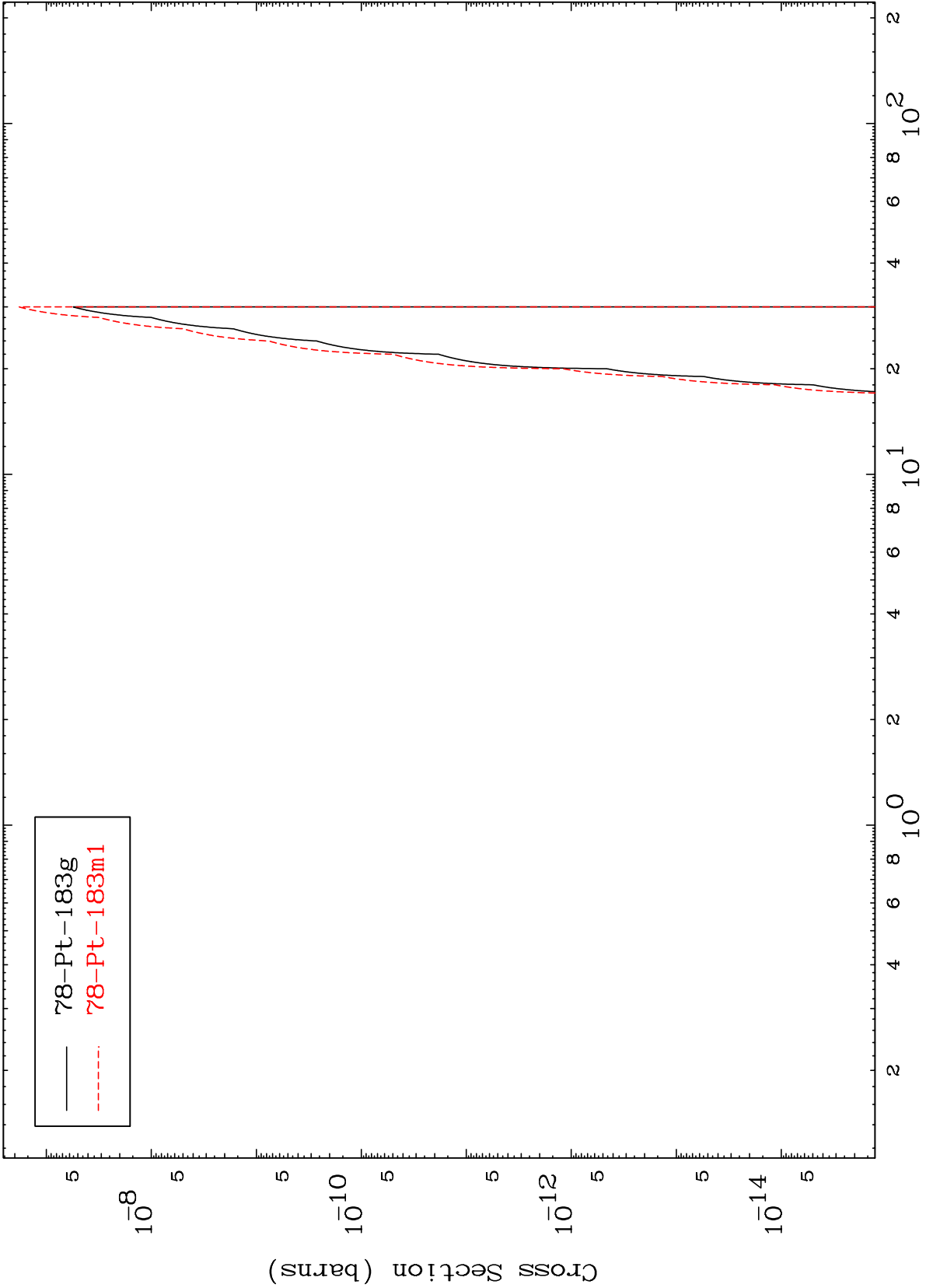


MAT 8089

(n,2n) 2α

81-Tl-191

Radionuclide Production Cross Section

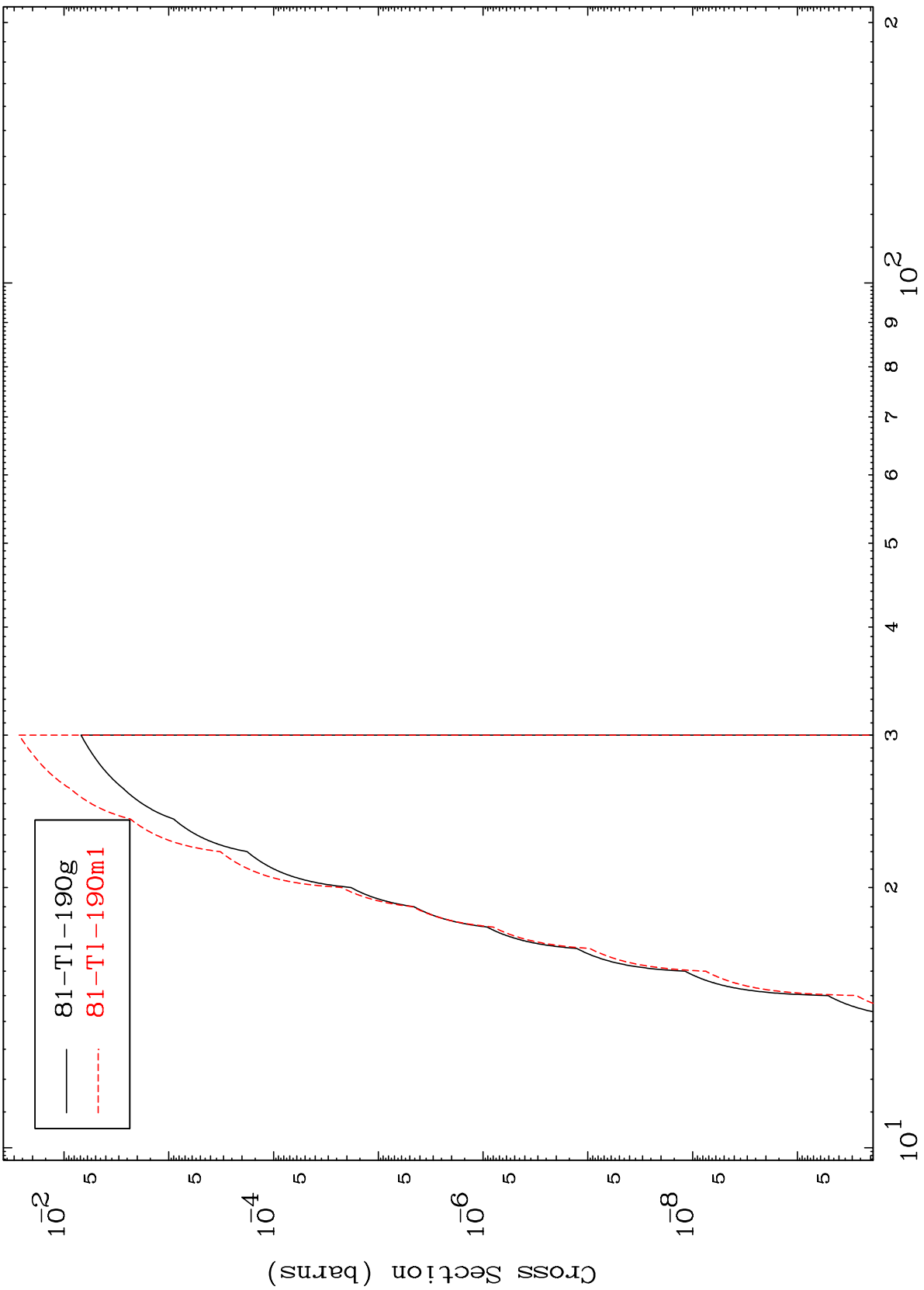


MAT 8089

(n,n') d

81-Tl-191

Radionuclide Production Cross Section

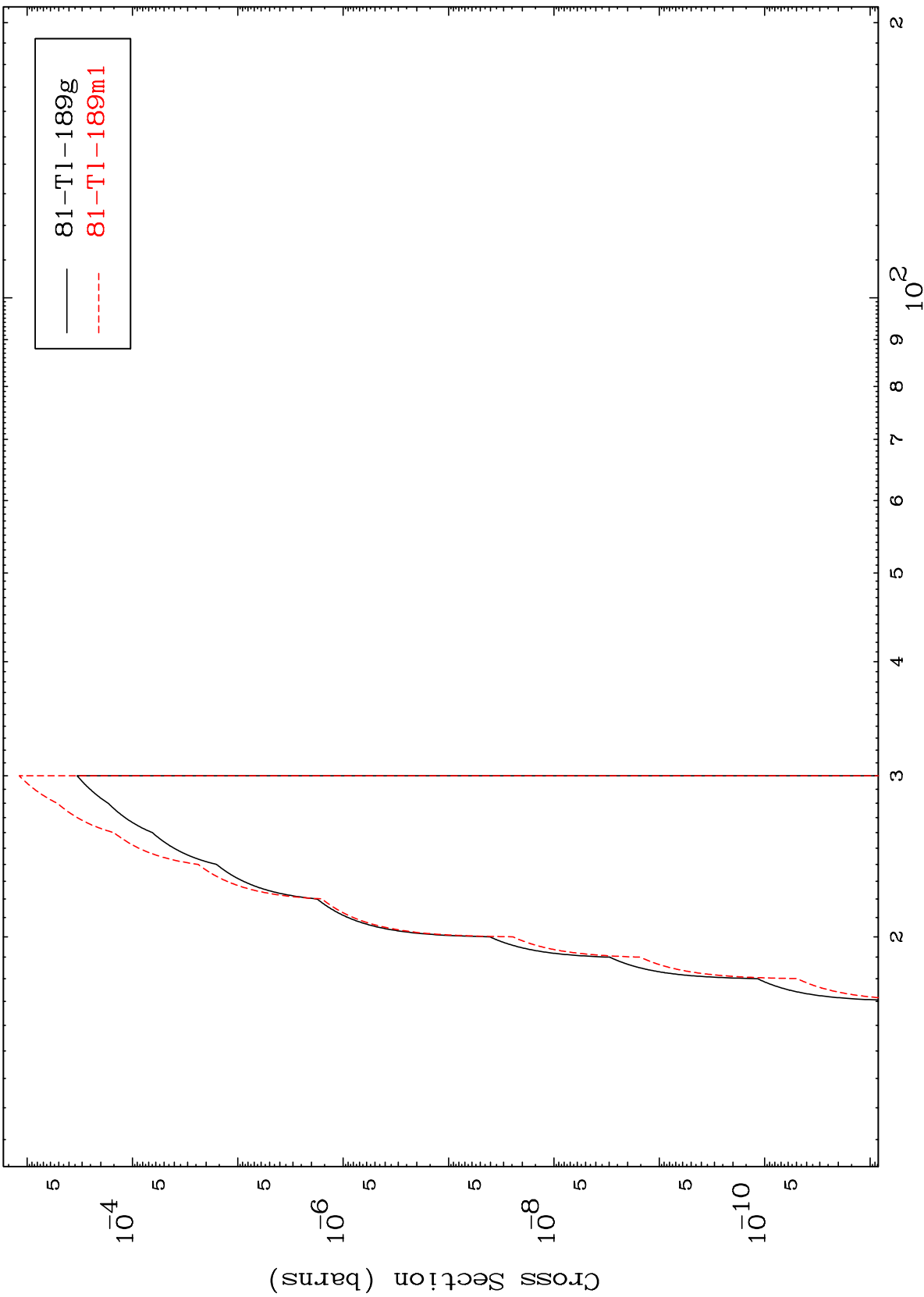


81-Tl-190g  
81-Tl-190m1

Incident Energy (MeV)

81-Tl-191

Radionuclide Production Cross Section

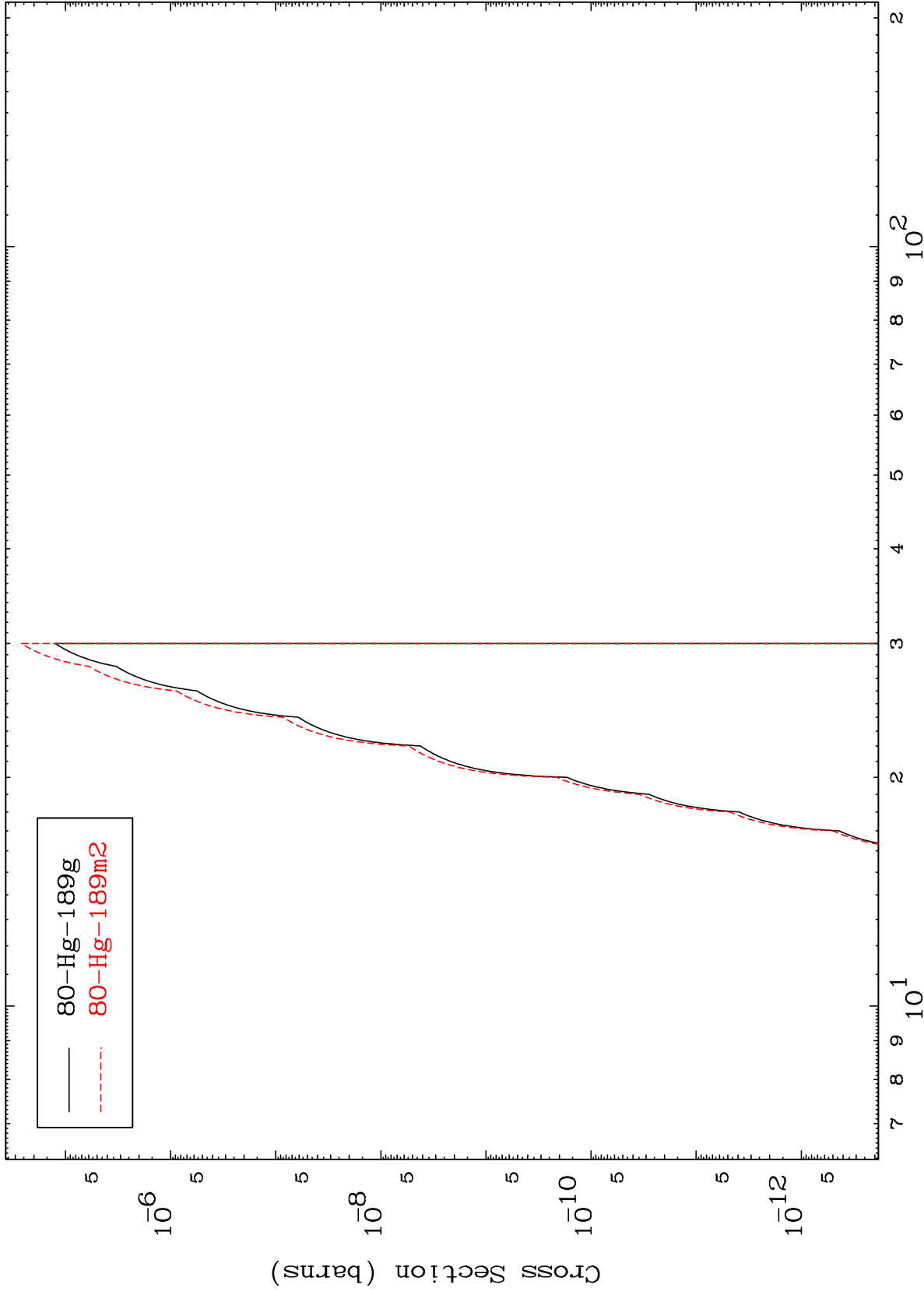


MAT 8089

(n,n') He-3

81-Tl-191

Radionuclide Production Cross Section

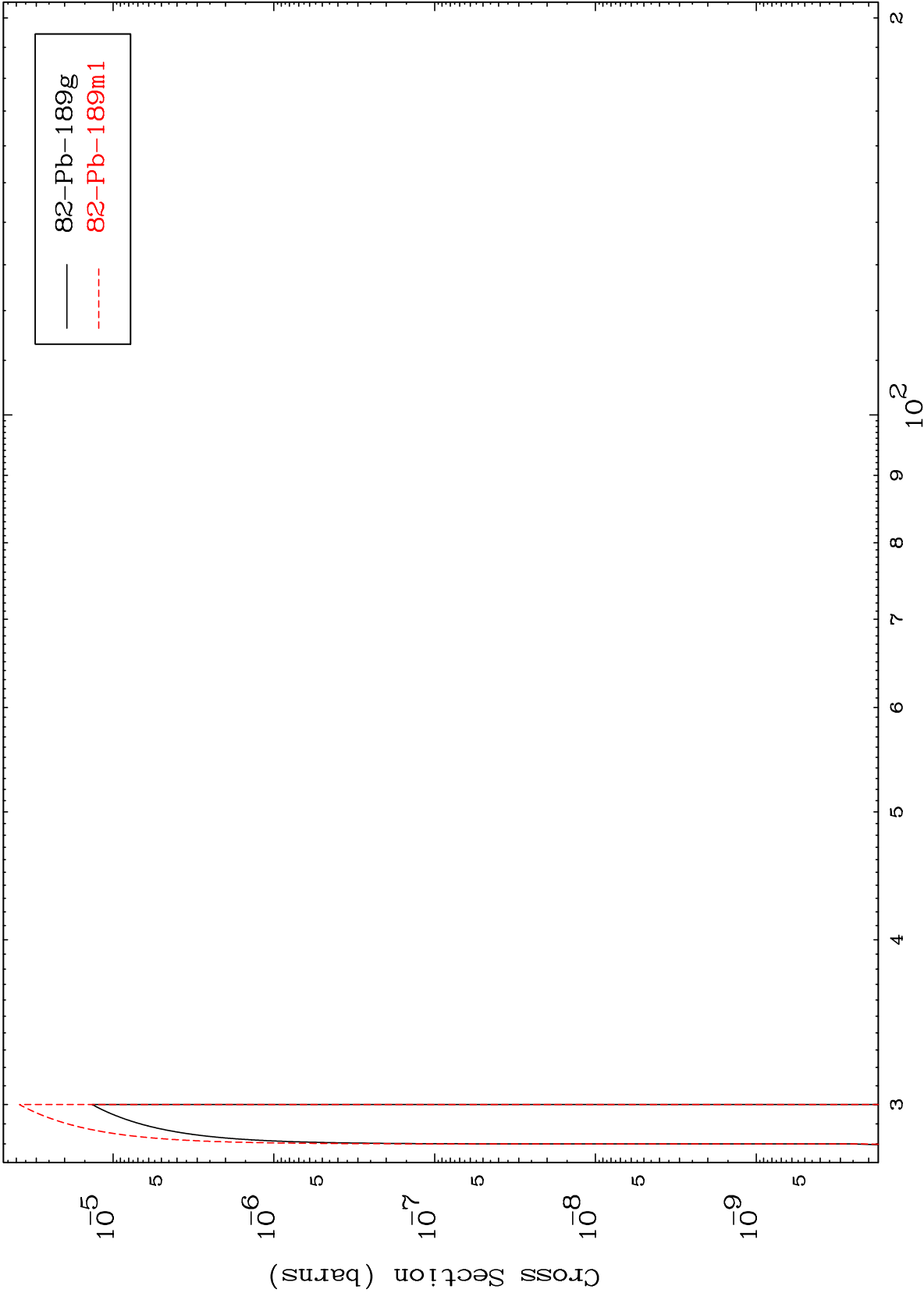


MAT 8089

(n,4n)

81-Tl-191

Radionuclide Production Cross Section



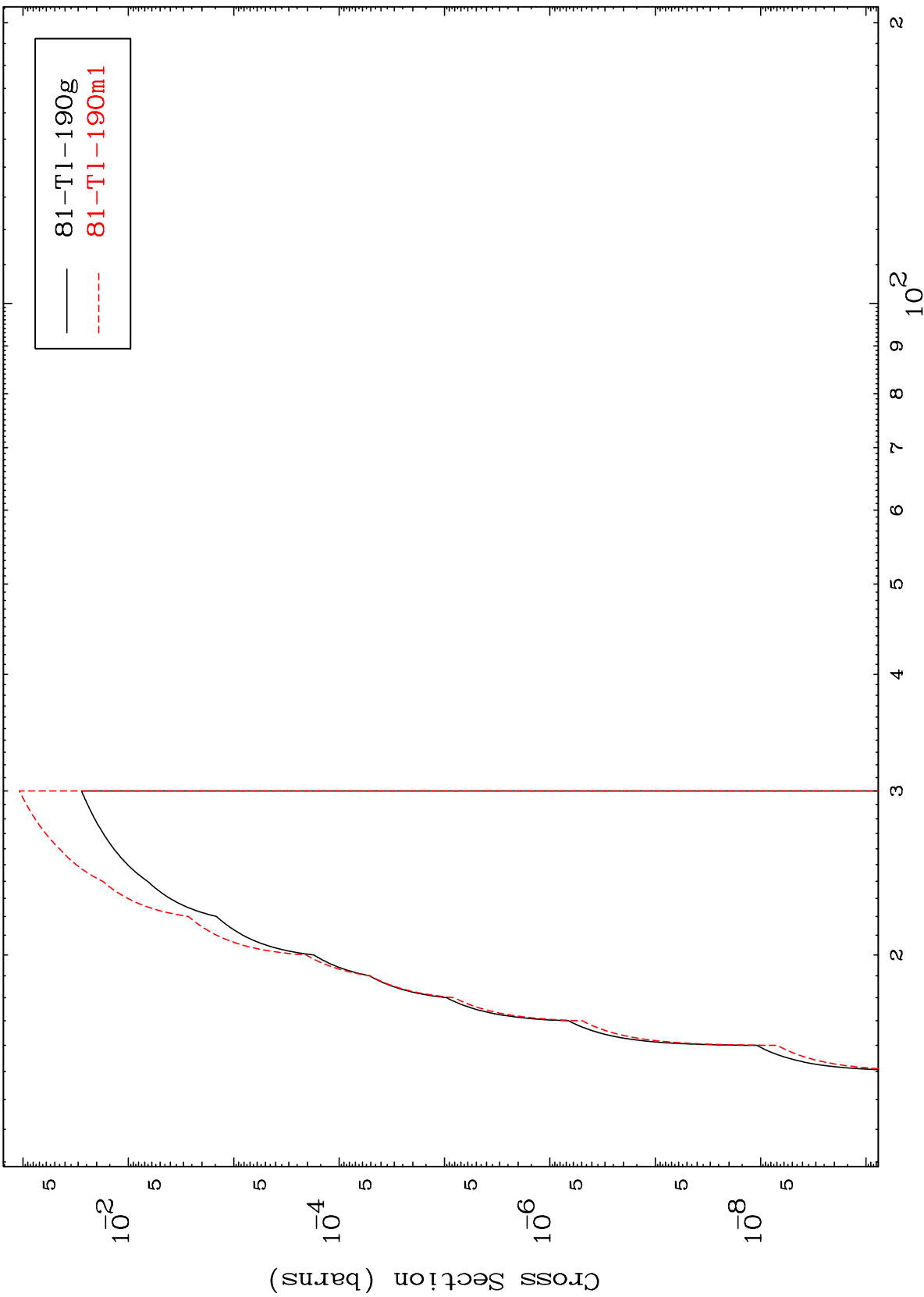
82-Pb-189g  
82-Pb-189m1

22

Incident Energy (MeV)

81-Tl-191

Radionuclide Production Cross Section

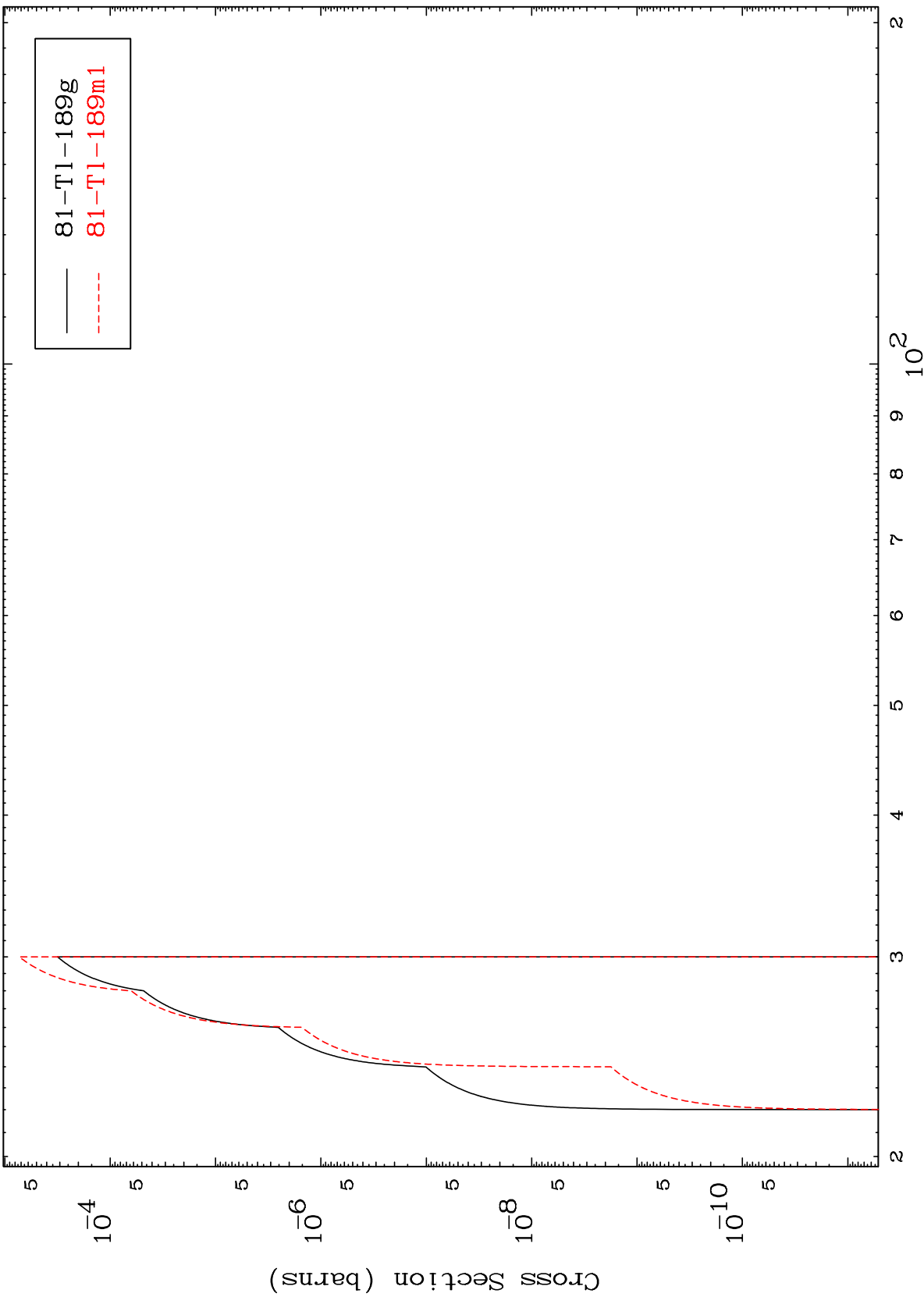


MAT 8089

(n,3n) p

81-Tl-191

Radionuclide Production Cross Section



81-Tl-189g  
81-Tl-189m1

24

Incident Energy (MeV)

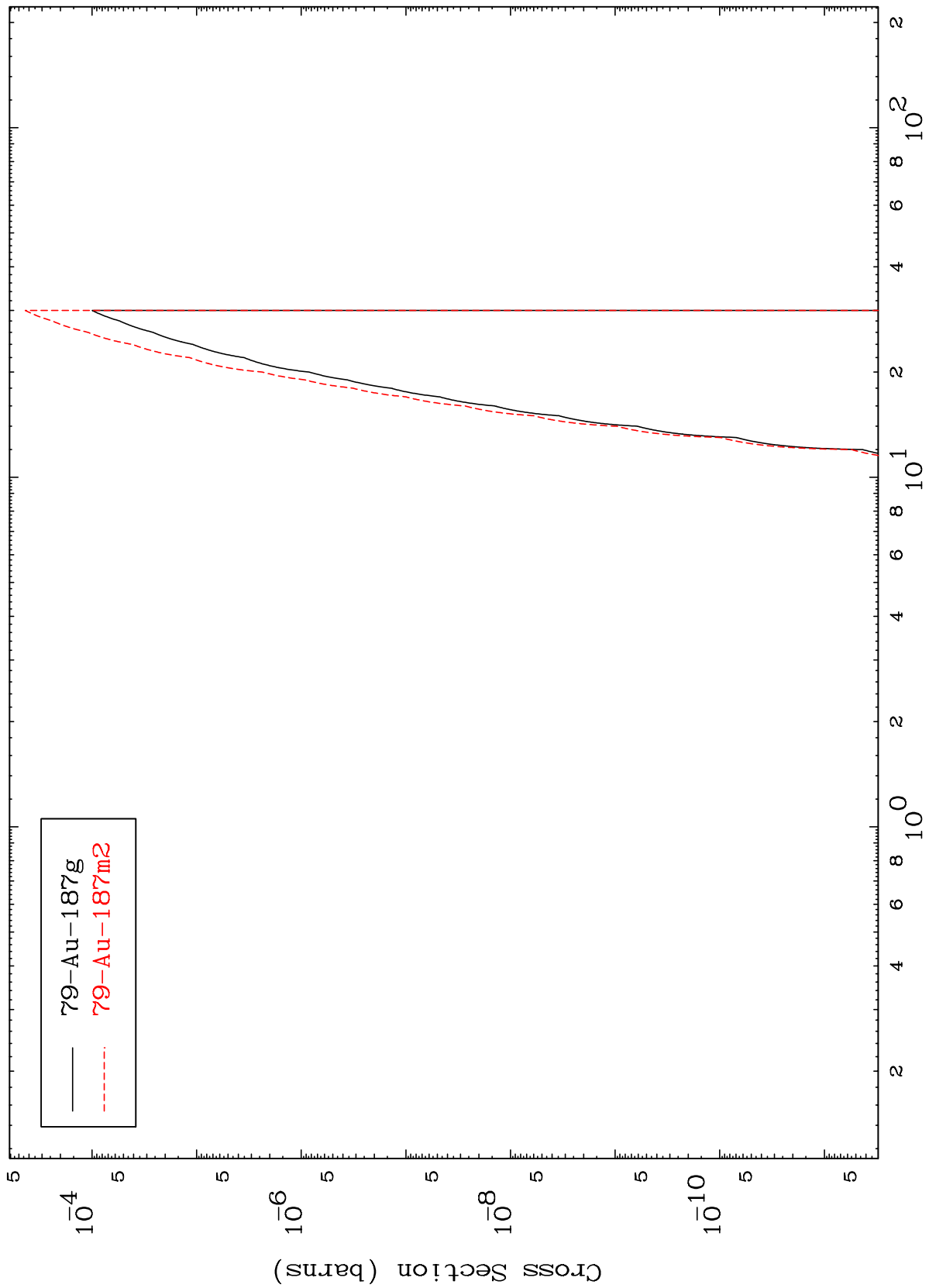
81-Tl-191

MAT 8089

(n,n') p  $\alpha$

81-Tl-191

Radionuclide Production Cross Section



79-Au-187g  
79-Au-187m2

25

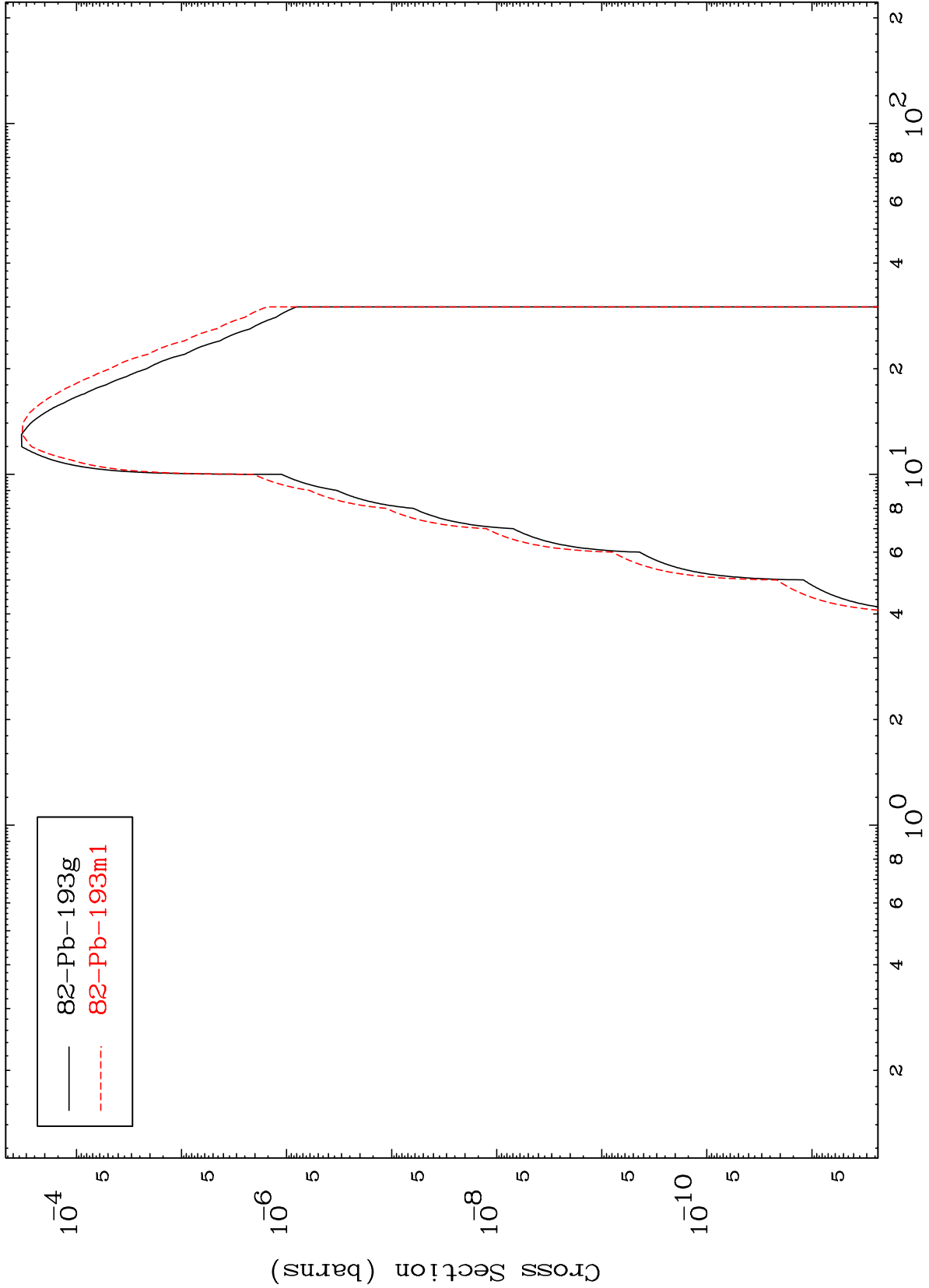
Incident Energy (MeV)

81-Tl-191

MAT 8089

81-Tl-191

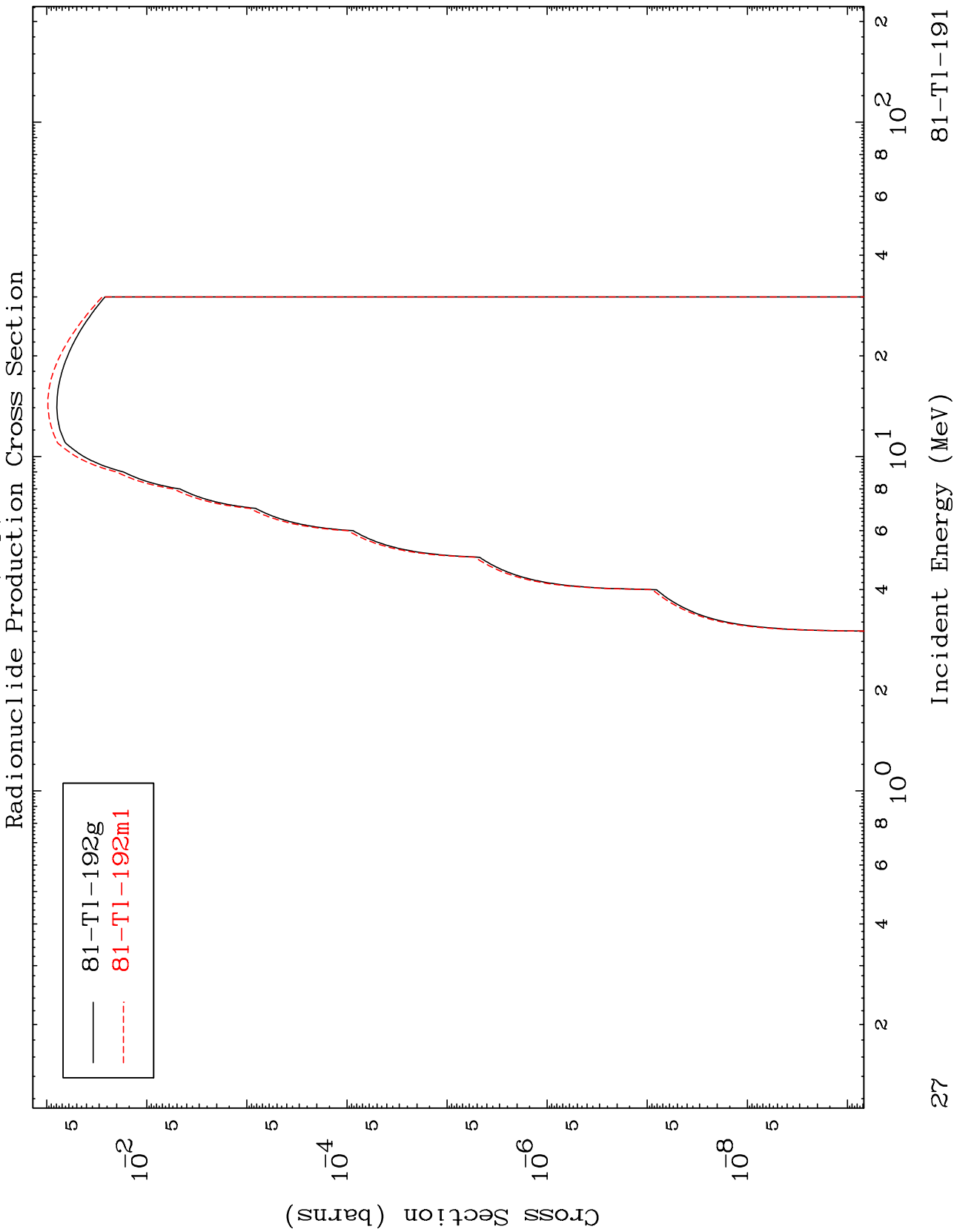
(n,  $\gamma$ )  
Radionuclide Production Cross Section



— 82-Pb-193g  
- - - 82-Pb-193m1

MAT 8089

81-Tl-191

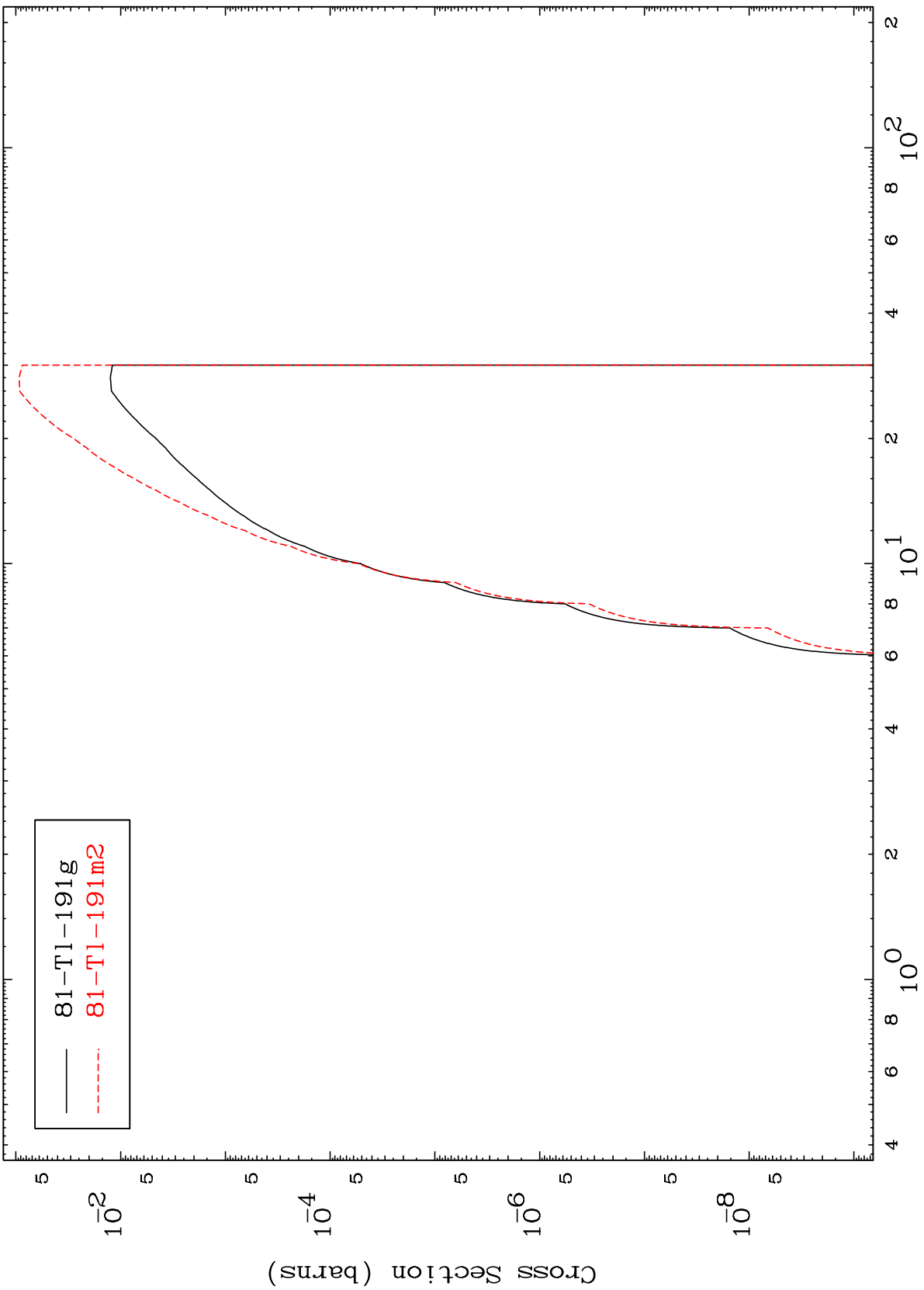
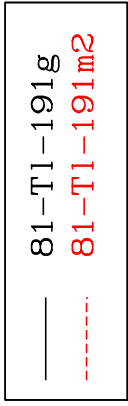


MAT 8089

(n,d)

81-Tl-191

Radionuclide Production Cross Section



28

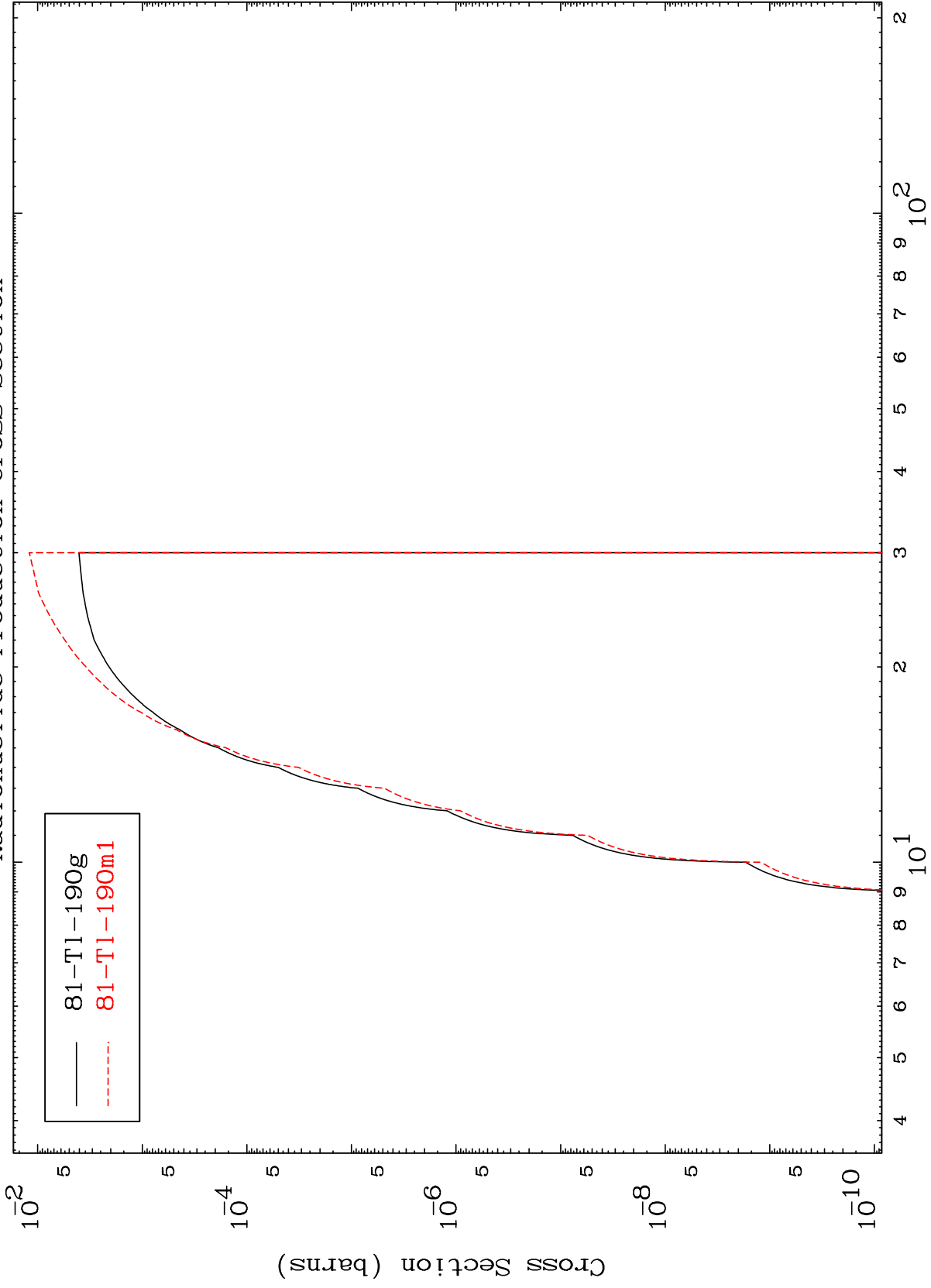
Incident Energy (MeV)

81-Tl-191

MAT 8089

81-Tl-191

Radionuclide Production Cross Section  
(n, t)



29

Incident Energy (MeV)

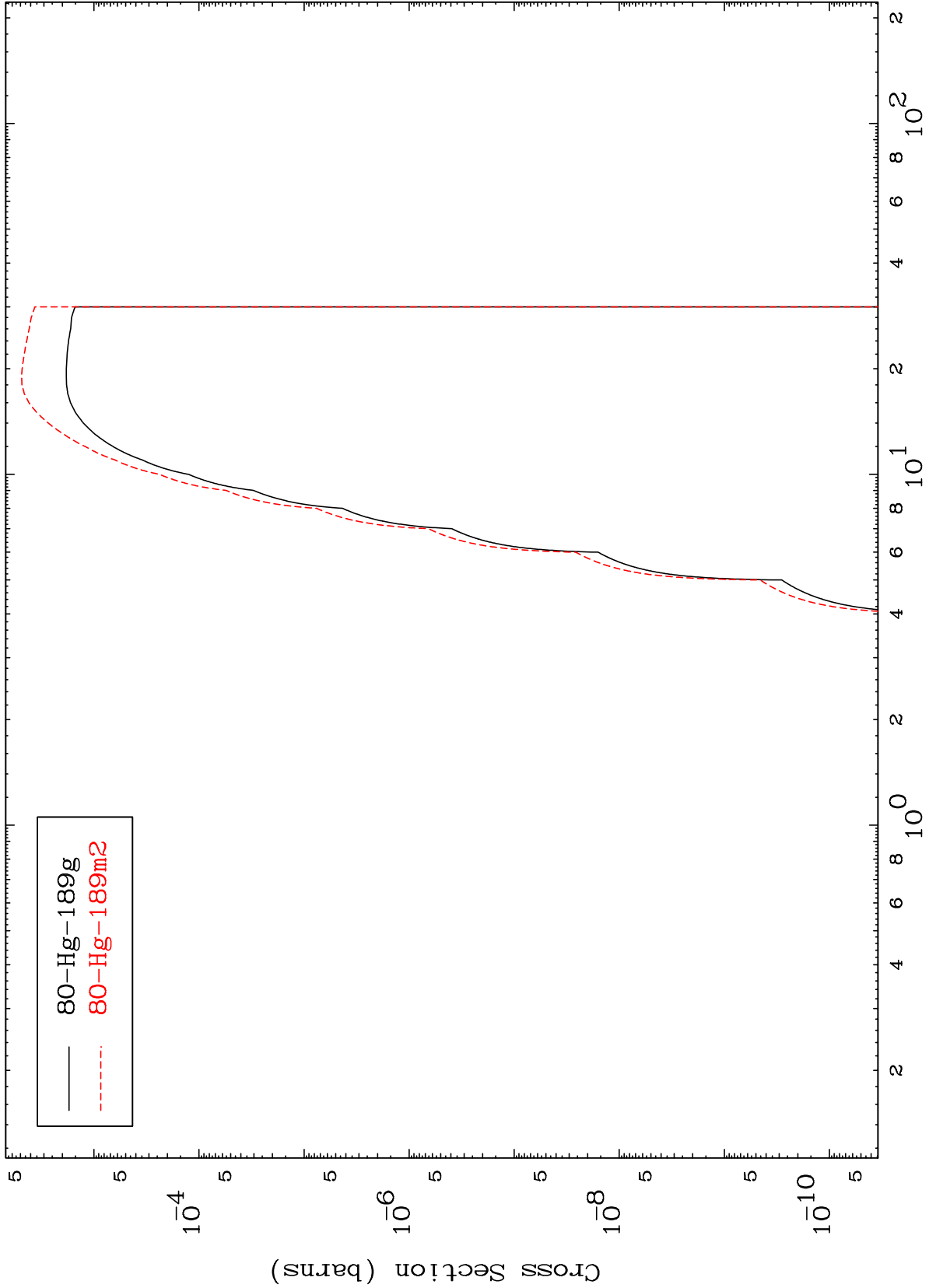
81-Tl-191

MAT 8089

81-Tl-191

(n,  $\alpha$ )

Radionuclide Production Cross Section



30

Incident Energy (MeV)

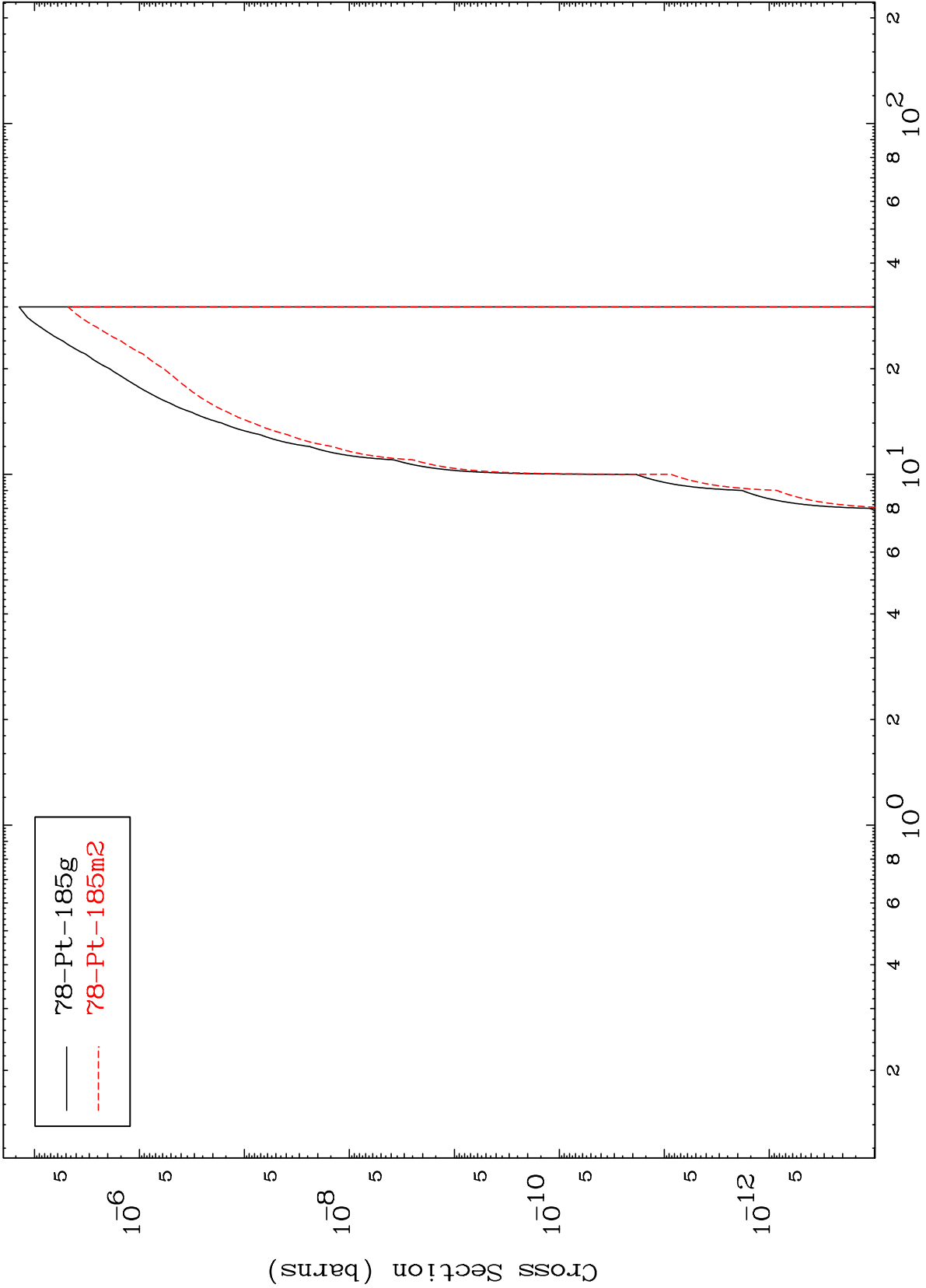
81-Tl-191

MAT 8089

(n,2α)

81-Tl-191

Radionuclide Production Cross Section

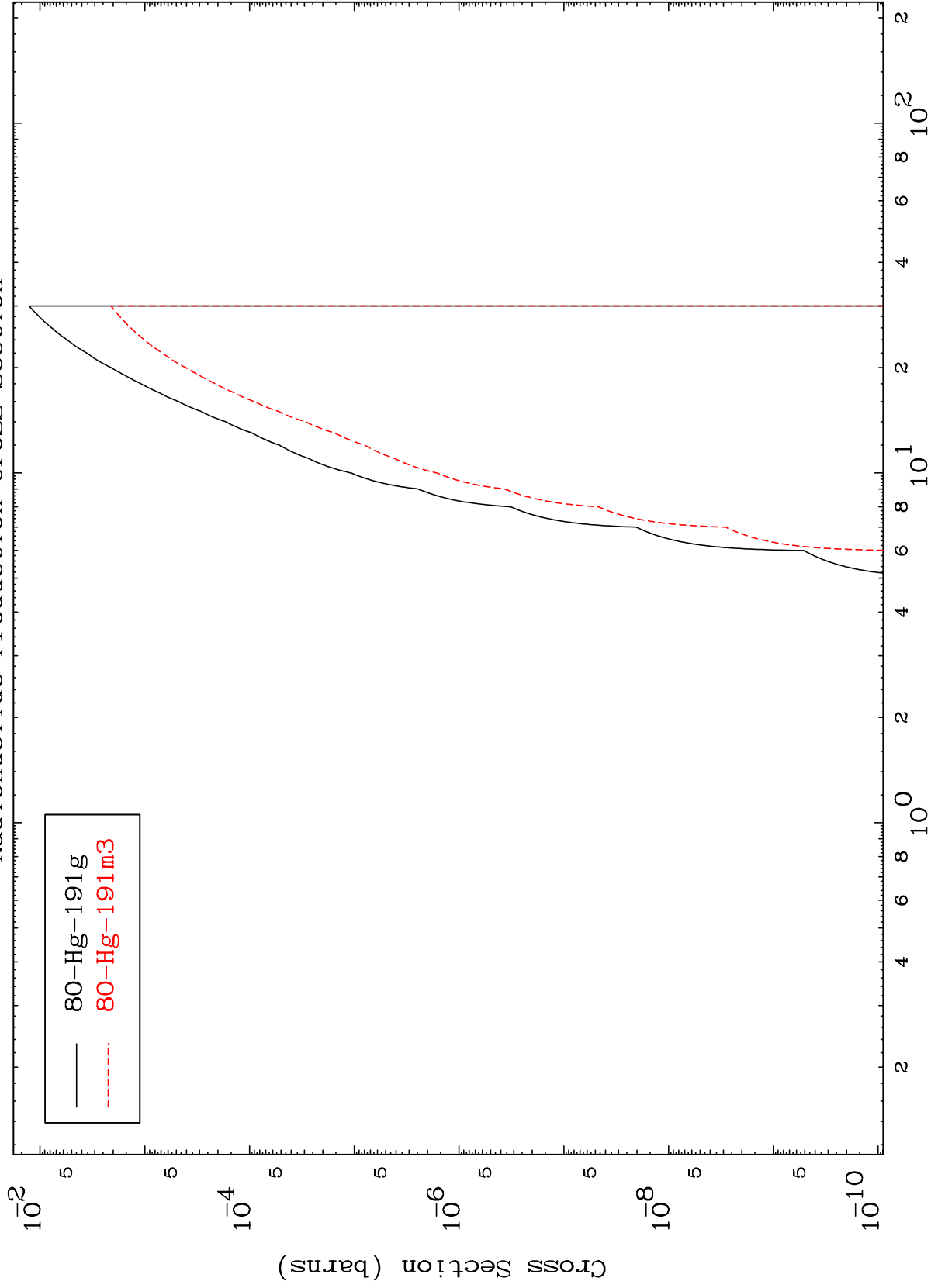


78-Pt-185g  
78-Pt-185m2

MAT 8089

81-Tl-191

Radionuclide Production Cross Section  
(n,2p)



32

81-Tl-191

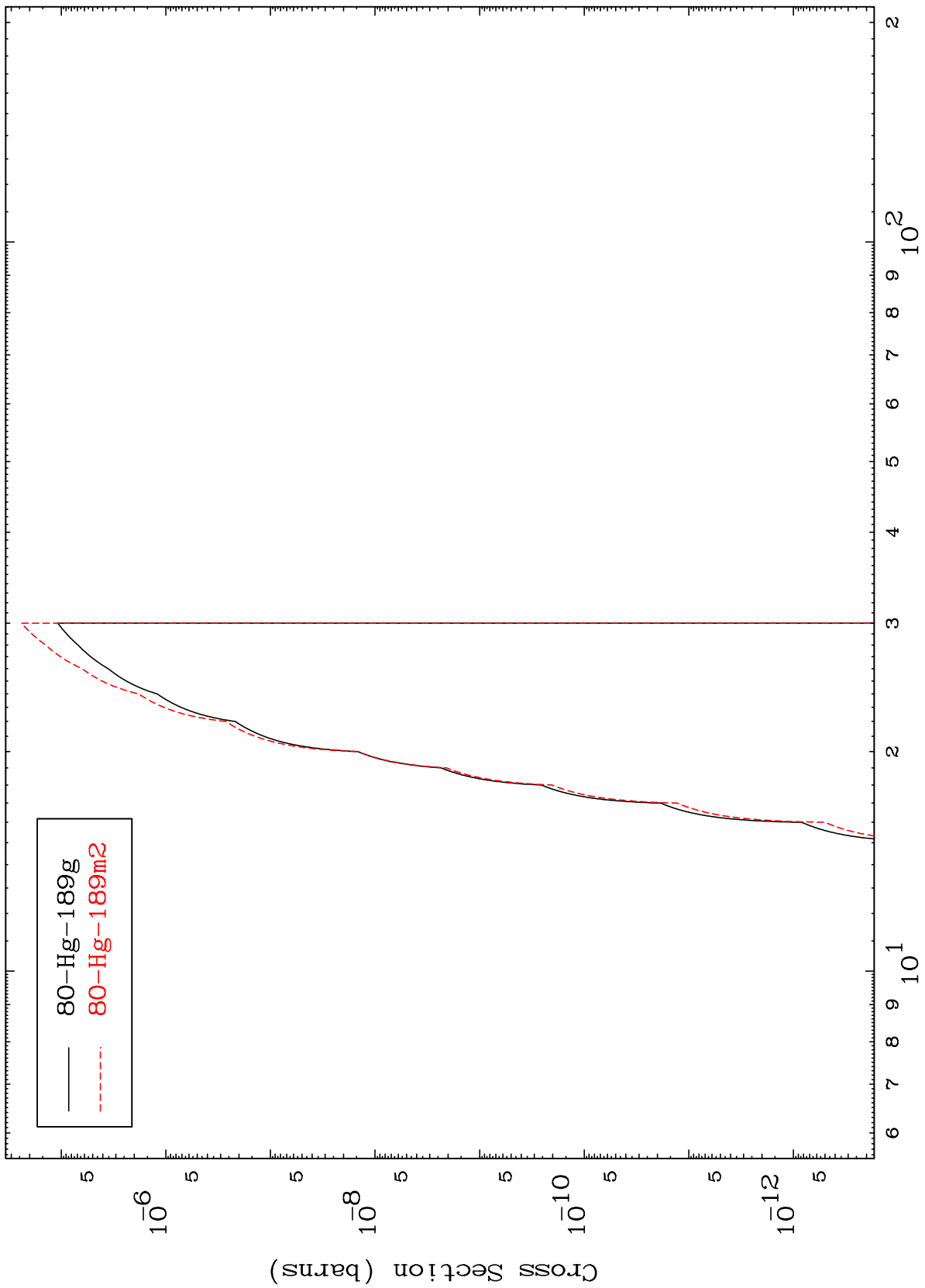
Incident Energy (MeV)

MAT 8089

(n,p) t

81-Tl-191

Radionuclide Production Cross Section



33

Incident Energy (MeV)

81-Tl-191

MAT 8089

(n,d)  $\alpha$

81-Tl-191

Radionuclide Production Cross Section

